

## บทที่ 4

### ผลการทดลอง

#### 1. ผลการแยกจากแหล่งตัวอย่าง

จากการตัดแยกจากดิน ตะกอนน้ำมัน และพีชน้ำมัน 21 แหล่งตัวอย่าง โดยวิธีทำเป็นสารละลายเจือจางลดความเข้มข้นลงตามลำดับบนอาหารเลี้ยงเชื้อกึ่งแข็ง PDA พบว่า จะสามารถตัดแยกได้ทั้งสิ้น 70 ไอโซเลต โดยจำนวนราที่ตัดแยกได้ในแต่ละแหล่ง และลักษณะโคโลนีของราที่แยกได้ แสดงดังตารางที่ 3 และรูปที่ 4

ตารางที่ 3 จำนวนราที่แยกได้จากแหล่งตัวอย่างต่าง ๆ และลักษณะโคโลนีของรบบนอาหารเลี้ยงเชื้อกึ่งแข็งPDA ที่เลี้ยงเป็นเวลา 7 วัน

แหล่ง	รหัสเชื้อ	ลักษณะโคโลนีของรบบนอาหารเลี้ยงเชื้อกึ่งแข็ง PDA	ความหนาและฟูของโคโลนี
ดินหลังร้านขายอาหาร จุฬาลงกรณ์มหาวิทยาลัย (CU)	CU1	โคโลนีสีขาว เส้นใยฟูเล็กน้อย มีการเจริญเติบโตช้า	++
	CU2	โคโลนีสีขาวครีม เส้นใยฟูตรงกลาง	++
	CU3	โคโลนีสีขาว เส้นใยฟู ตรงกลางมีสปอร์สีน้ำตาล ด้านหลังสีส้มย่น	+++
	CU4	โคโลนีสีขาวเหลือง เส้นใยแน่นไปกับอาหาร ขอบไม่เรียบ	+
	CU5	โคโลนีมีสปอร์สีดำเป็นชั้น ๆ วง ๆ รอบโคโลนี ด้านหลังเป็นจีบ ๆ	+++
ดินจากน้ำพุร้อน จ.เชียงใหม่ (SKP)	SKP1	โคโลนีมีสปอร์สีดำ ขอบรอบโคโลนีมีเส้นใยสีขาว	++
	SKP2	มีสีขาวรอบนอกโคโลนีกว้างเล็กน้อย มีสปอร์สีดำ	++
	SKP3	โคโลนีสปอร์สีเขียวเข้ม ขอบโคโลนีมีเส้นใยสีขาวโดยรอบ โตช้า	+

ตารางที่ 3 (ต่อ)

แหล่ง	รหัสเชื้อ	ลักษณะโคโลนีของราบนอาหารเลี้ยงเชื้อกึ่งแข็ง PDA	ความหนาและฟูของโคโลนี
ดินจากน้ำพุร้อน จ.เชียงใหม่ (SKP) (ต่อ)	SKP4	โคโลนีสปอร์สีเขียวอมเทาตรงกลาง โคโลนี ขอบโคโลนีมีเส้นใยสีขาว โดยรอบ	+
ดินจากน้ำพุร้อน จ.แม่ฮ่องสอน (PAI)	PAI1	มีสปอร์สีเขียวเข้ม เส้นใยสีขาวรอบ โคโลนี	+++
	PAI2	โคโลนีมีเส้นใยสีเหลือง ตรงกลางมี สปอร์สีเหลืองน้ำตาล	++
	PAI3	เส้นใยสีขาวรอบนอกโคโลนี มี สปอร์สีดำ	+++
	PAI4	เส้นใยขาวรอบโคโลนีและสปอร์มีสี เหลืองตรงกลางโคโลนี	++
	PAI5	เส้นใยฟูแค่ออบ ๆ โคโลนี ตรงกลาง เป็นเส้นใยแนบไปกับอาหาร	+
	PAI6	โคโลนีมีสปอร์เป็นผงละเอียดสีเขียว เทา ๆ ขอบเรียบ โตขยายโคโลนีเร็ว	+
ดินจากป่าเต็งรัง จ.น่าน (NAN)	NAN101	โคโลนีมีสปอร์เกาะกันเป็นก้อนเล็ก	+
	NAN102	โคโลนีสีขาว เส้นใยฟู	++
	NAN103	โคโลนีมีเส้นใยฟูสีขาวคล้ายลำลี	+++
	NAN104	โคโลนีสีขาว เส้นใยฟูทั้งโคโลนี ด้านหลังตรงกลางเป็นสีเหลือง	++
	NAN105	โคโลนีมีสปอร์สีเหลืองเข้ม ขอบ โคโลนีมีเส้นใยสีขาว	++
	NAN106	โคโลนีมีลักษณะเส้นใยเป็นกงจักรสี ขาว เจริญช้า	+++
	NAN107	มีสปอร์เกาะกันเป็นก้อนเล็กสีขาว และสีเขียว	+

ตารางที่ 3 (ต่อ)

แหล่ง	รหัสเชื้อ	ลักษณะโคโลนีของราบนอาหารเลี้ยงเชื้อกึ่งแข็ง PDA	ความหนาและฟูของโคโลนี
ดินจากป่าเต็งรัง จ.น่าน (NAN) (ต่อ)	NAN108	โคโลนีมีสปอร์สีดำ	++
	NAN109	โคโลนีสีขาว โคโลนีเส้นใยฟูตรงกลางโคโลนี แต่รอบนอกมีเส้นใยฟูน้อยกว่าตรงกลางโคโลนี	+++
ดินจากเกาะไผ่ จ.กระบี่ (PI)	PI1	โคโลนีมีสปอร์สีเขียว ตรงกลางสปอร์เป็นผง ๆ สปอร์รอบนอกเป็นเม็ด ๆ	++
	PI2	โคโลนีแบนติดกับอาหาร และมีเส้นใยฟูเป็นกระจุกอยู่รอบโคโลนี	+
	PI3	โคโลนีมีสปอร์สีเหลืองเข้ม ขอบโคโลนีมีเส้นใยสีขาว	++
ดินร่วน จ.กระบี่ (KB)	KB1	เส้นใยฟูสีขาว ขอบเรียบ ตรงกลางเส้นใยแหลมเป็นพุ่ม โตช้า	++
	KB2	เส้นใยสีขาว ไม้ฟูจะแนบกับอาหาร ขอบไม่เรียบ โตช้า	+
ดินจากสุสานหอย จ.กระบี่ (SH)	SH1	โคโลนีสีคล้ายรังกระดาศสีน้ำตาล เส้นใยไม้ฟู โตช้ามาก	+
	SH2	โคโลนีมีสปอร์สีเหลืองเข้มตรงกลางโคโลนี รอบโคโลนีมีเส้นใยสีขาว ขอบเรียบ	++
	SH3	โคโลนีสีเหลือง ขอบไม่เรียบ โตช้า	+
	SH4	โคโลนีมีสปอร์สีเขียวเข้ม ขอบโคโลนีมีเส้นใยสีขาวเล็กน้อย	+
	SH5	โคโลนีมีสปอร์สีเขียว ขอบขาว	+
	SH6	โคโลนีสีเหลือง ขอบไม่เรียบ	+

ตารางที่ 3 (ต่อ)

แหล่ง	รหัสชื่อ	ลักษณะโคโลนีของรา บนอาหารเลี้ยงเชื้อกึ่งแข็ง PDA	ความหนา และฟู ของโคโลนี
ดินจากโรงงานน้ำมันปาล์ม จ.กระบี่ (KBP)	KBP1	เส้นใยสีขาว ฟูตรงกลาง ขอบเรียบ	++
	KBP2	โคโลนีมีเส้นใยสั้นๆ สีขาวเทาๆ โต ช้า ด้านหลังเป็นสีดำ ขอบเรียบ	+
	KBP3	โคโลนีสีขาว ด้านหน้าโคโลนีเป็น ก้อนนูน ขอบไม่เรียบ โตช้า	+
ดินจากศูนย์สิ่งแวดล้อมศึกษา จ.เชียงใหม่ (SVL)	SVL1	โคโลนีสีม่วงอ่อน ไม่ฟู โตช้า	+
	SVL2	โคโลนีสีขาว เส้นใยสั้น โตช้า	+
ดินจอมปลวก จ.อยุธยา (AU)	AU1	เส้นใยสีขาว และมีการเจริญของ เส้นใยบาง ๆ รอบโคโลนี	++
	AU2	เส้นใยสีน้ำตาลยาว สปอร์เป็นผง ละเอียดสีน้ำตาลอ่อน	+++
ดินจากไร่ม่อน จ.มุกดาหาร (MD)	MD1	สปอร์เป็นผงละเอียดสีเขียวขี้ม้า	+
	MD2	สปอร์เป็นผงละเอียดสีดำ	+
	MD3	สปอร์เป็นผงละเอียดสีน้ำตาล ขอบ โคโลนีสีขาว	+
ดินดำจาก อ.วังน้ำเย็น จ.สระแก้ว (SK)	SK1	สปอร์เป็นผงคล้ายดินทรายมีสีเขียว ขอบ ๆ โคโลนี เป็นสีเหลืองอ่อน	++
	SK2	สปอร์เป็นผงคล้ายดินทรายสีดำ เส้นใยเป็นสีเหลืองอ่อน	+
	SK3	สปอร์เป็นผงละเอียดสีเขียวเข้ม	+
	SK4	สปอร์เป็นผงละเอียดสีเขียวเข้มปน ดำ	+
	SK5	ตรงกลางโคโลนีมีสปอร์เป็นผง ละเอียดสีน้ำตาลคล้าย ๆ ดินทราย บริเวณขอบรอบ ๆ โคโลนีเป็นสี เหลืองอ่อนชัดเจน	+

ตารางที่ 3 (ต่อ)

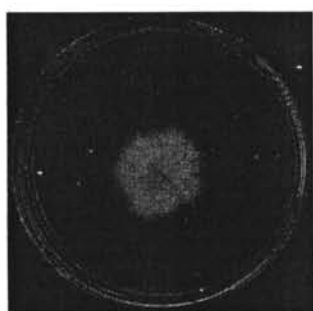
แหล่ง	รหัสเชื้อ	ลักษณะโคโลนีของราบนอาหารเลี้ยงเชื้อกึ่งแข็ง PDA	ความหนาและฟูของโคโลนี
ดินจากสวนมะขาม จ.ยโสธร (YSH)	YSH1	สปอร์เป็นผงละเอียดสีดำ ขอบรอบ ๆ โคโลนีมีเส้นใยสีขาว	+
	YSH2	สปอร์คล้าย ๆ ดินทราย มีสีน้ำตาลปนดำ	++
	YSH3	สปอร์เป็นผงละเอียด เส้นใยโตแนบไปกับอาหาร	+
ตะกอนน้ำมันจากโรงงานผลิตน้ำมันพืชตราอรุณ จ.นครปฐม (SIDI)	SIDI	มีสปอร์สีดำกระจายทั่วโคโลนี เส้นใยฟูเล็กน้อย	++
เชื้อจากผลปาล์มแหล่ง A จ. ชุมพร (PFA)	PFA	โคโลนีสีขาว มีสปอร์สีเหลือง เส้นใยเกาะกันเป็นก้อน	+
เชื้อผลปาล์มน้ำมันแหล่ง B จ. ชุมพร (PFB)	PFB1	สปอร์สีเขียวเข้ม	+
	PFB2	เส้นใยสีขาวหม่น มองเห็นสปอร์ไม่ชัดเจน	+
	PFB3	เส้นใยสีขาวรอบโคโลนี เริ่มแรกสปอร์สีดำ แล้วเปลี่ยนเป็นสีเขียว	+
เชื้อผลปาล์มน้ำมันแหล่ง C จ. ชุมพร (PFC)	PFC1	สปอร์มีสีเขียว ขอบโคโลนีลักษณะเกาะกันเป็นก้อนสีขาว	+
	PFC2	เส้นใยฟู สีขาว สปอร์สีเทาดำ กระจายไม่อัดกันแน่น โตเร็วมาก	++++
เมล็ดปาล์ม จ. ชุมพร (PS)	PS1	เส้นใยสีขาวบางเห็นชัดที่ขอบโคโลนี สปอร์สีเขียวอ่อน	+
	PS2	เส้นใยสีขาวหม่น ๆ สปอร์สีเขียวแก่	++
มะพร้าวชุดแหล่ง A (COA)	COA1	สปอร์สีเขียวเทา โตช้า ขอบไม่เรียบ	+
	COA2	เส้นใยสีขาว สปอร์สีเทาอมเขียว ผลิตของเหลวสีดำคล้ายหยดน้ำมันบนเส้นใย ไม่ค่อยฟู	+

ตารางที่ 3 (ต่อ)

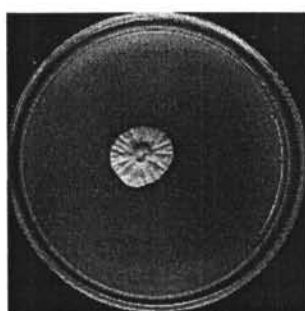
แหล่ง	รหัสเชื้อ	ลักษณะโคโลนีของราบนอาหารเลี้ยงเชื้อกึ่งแข็ง PDA	ความหนาและฟูของโคโลนี
มะพร้าวชุดแหล่ง A กรุงเทพมหานคร (COA)	COA3	สปอร์สีเขียว เห็นเส้นใยสีขาวรอบนอกชัดเจน เมื่ออายุมากขึ้น ด้านหลังจะมีลักษณะเป็นจีบๆ	+
มะพร้าวชุดแหล่ง B กรุงเทพมหานคร (COB)	COB	เส้นใยสีขาว เส้นใยฟูเล็กน้อย พื้นผิวโดยรวมเป็นจีบ ๆ โดยรอบ	++
เมล็ดทานตะวัน จ.สระบุรี (SSF)	SSF1	เส้นใยสีขาวอมเหลือง ขอบเรียบ โตช้า	+
	SSF2	เส้นใยสีขาว สปอร์สีเขียวอ่อน	+
	SSF3	เส้นใยสีขาวฟู โตเร็ว	+++
	SSF4	เส้นใยสีขาวอยู่รอบโคโลนีและมีสปอร์สีเหลือง	+

หมายเหตุ : เครื่องหมาย + แสดงระดับความหนาและฟูของโคโลนี

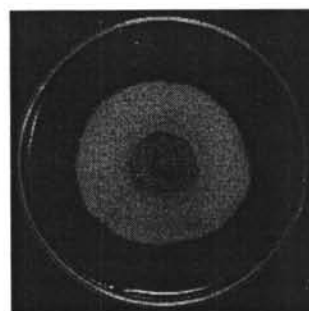
- + น้อย คือ เส้นใยแนบไปกับอาหาร
- ++ ปานกลาง คือ เส้นใยฟูขึ้นในอากาศ (aerial mycelium) เล็กน้อย
- +++ มาก คือ เส้นใยฟูมาก เส้นใยฟูขึ้นในอากาศเห็นได้อย่างชัดเจน โตเร็ว
- ++++ มากที่สุด คือ เส้นใยฟูจนเต็มจานเพาะเชื้อ



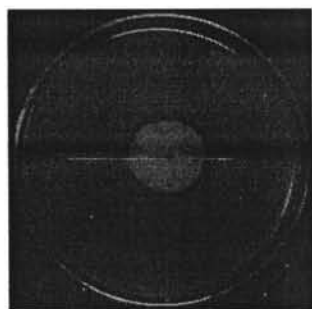
CU1



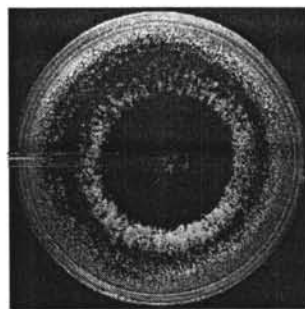
CU2



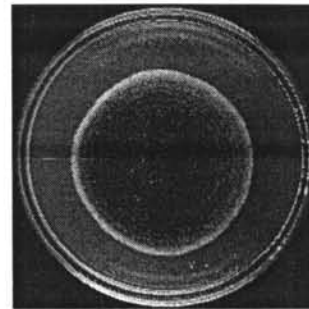
CU3



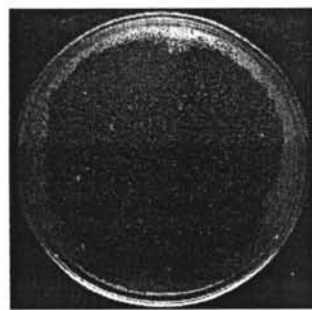
CU4



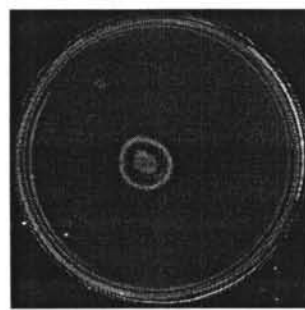
CU5



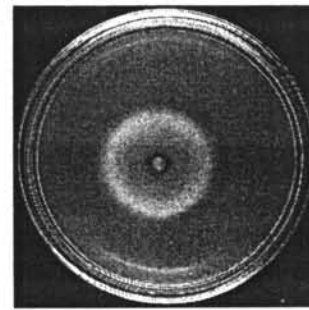
SKP1



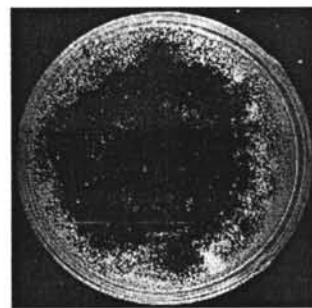
SKP2



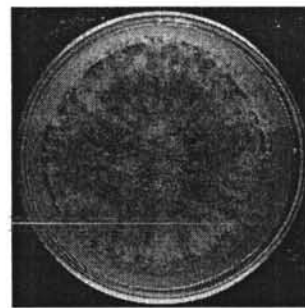
SKP3



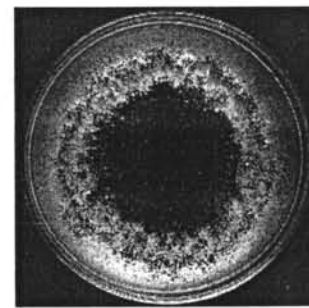
SKP4



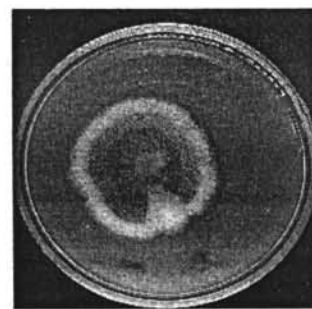
PAI1



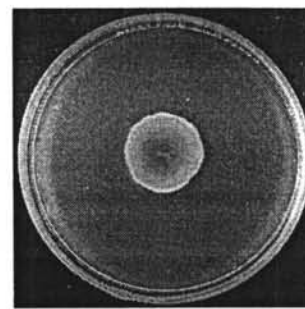
PAI2



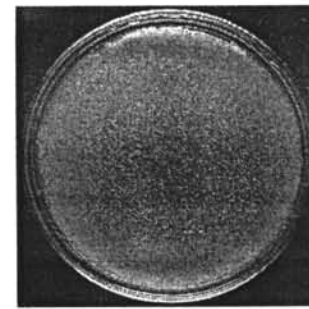
PAI3



PAI4

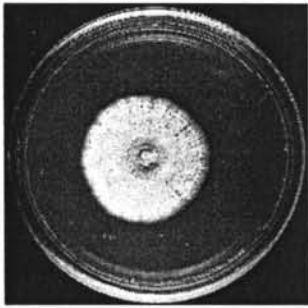


PAI5

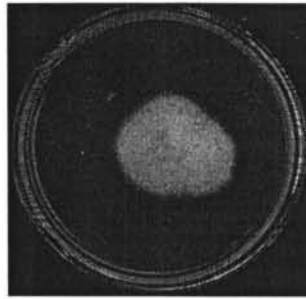


PAI6

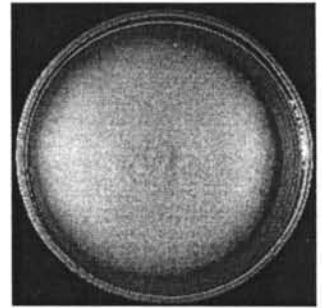
รูปที่ 4 ลักษณะโคโลนีจากตัวอย่าง เมื่อเลี้ยงบนอาหารเลี้ยงเชื้อกึ่งแข็ง PDA เป็นเวลา 7 วัน



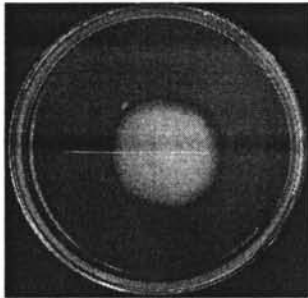
NAN101



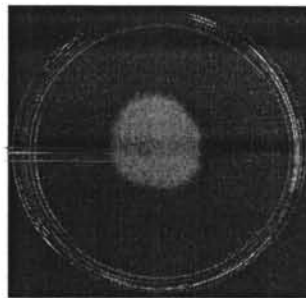
NAN102



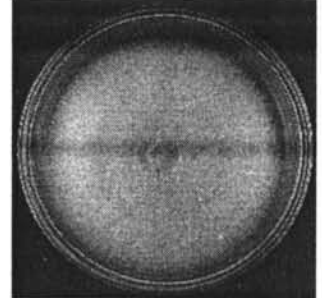
NAN103



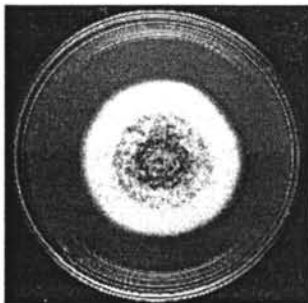
NAN104



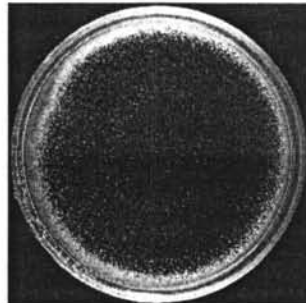
NAN105



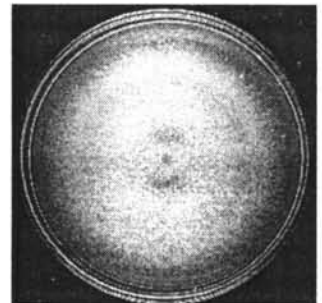
NAN106



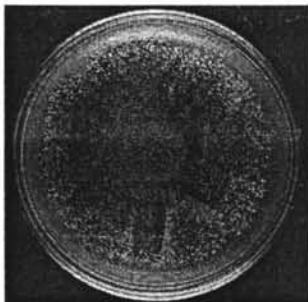
NAN107



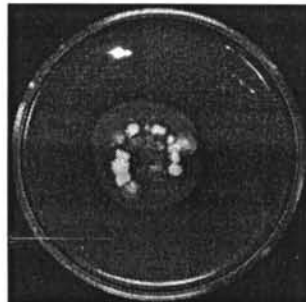
NAN108



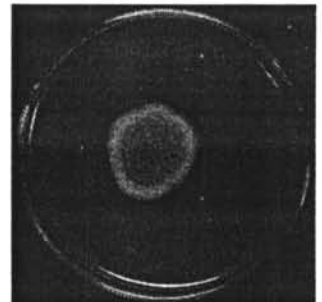
NAN109



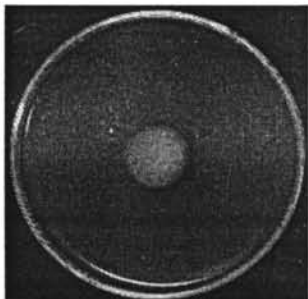
PI1



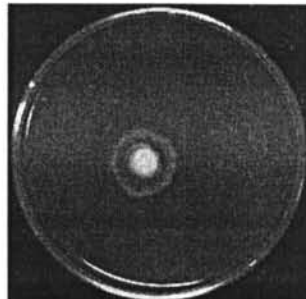
PI2



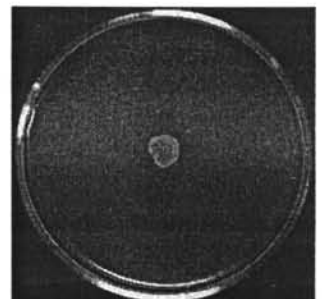
PI3



KB1



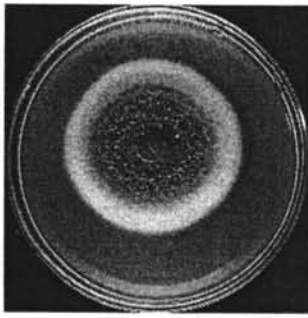
KB2



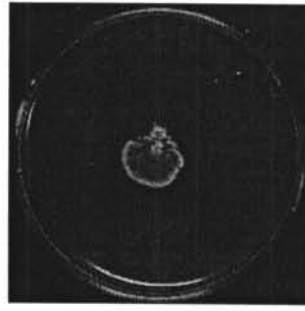
SH1

รูปที่ 4 (ต่อ)

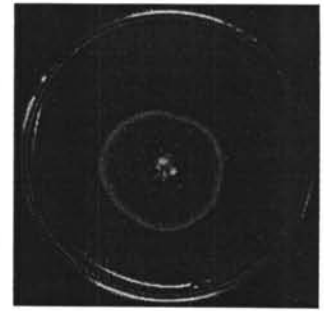




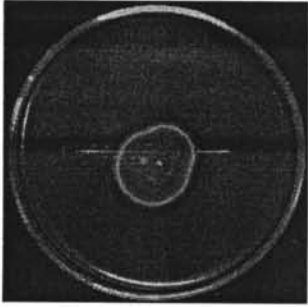
SH2



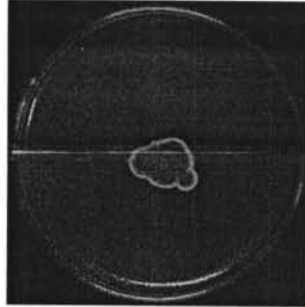
SH3



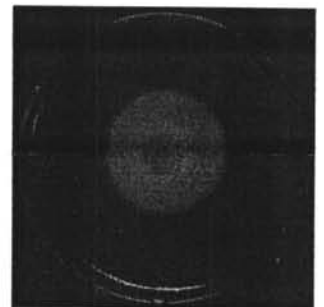
SH4



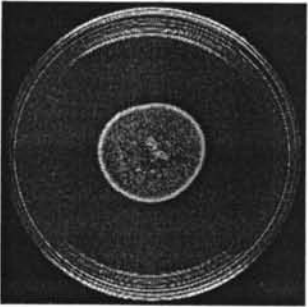
SH5



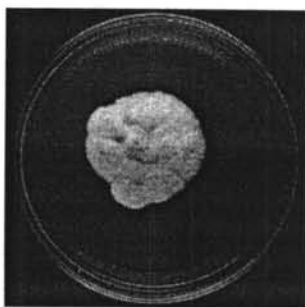
SH6



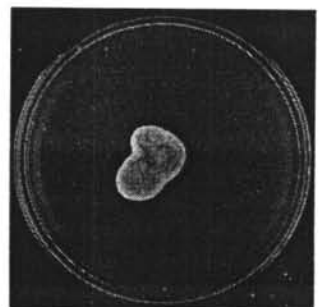
KBP1



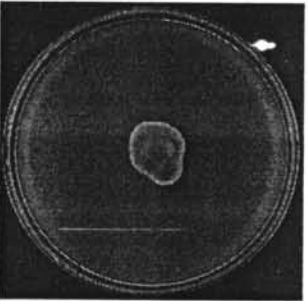
KBP2



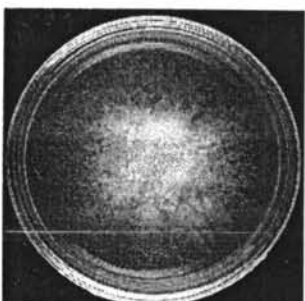
KBP3



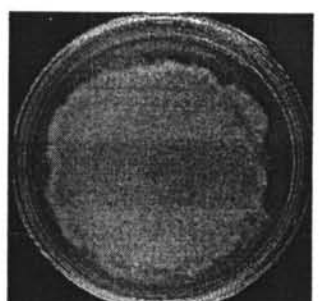
SVL1



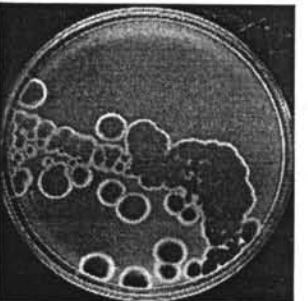
SVL2



AU1



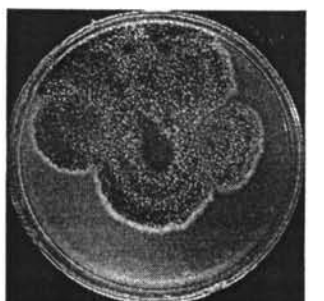
AU2



MD1

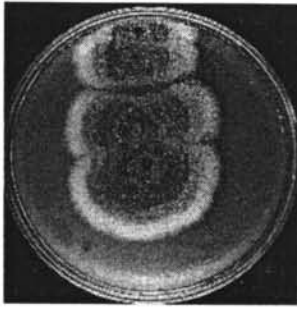


MD2

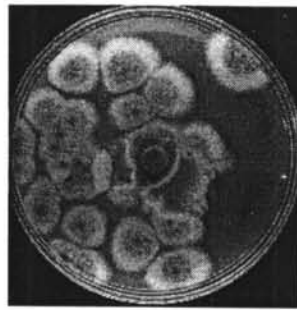


MD3

รูปที่ 4 (ต่อ)



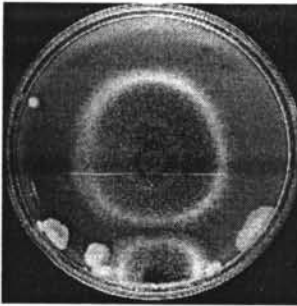
SK1



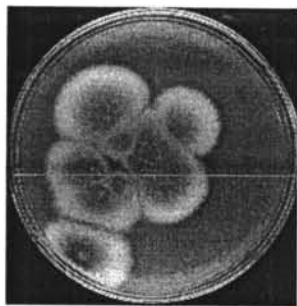
SK2



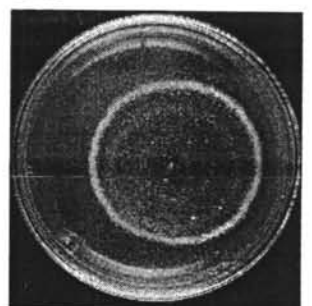
SK3



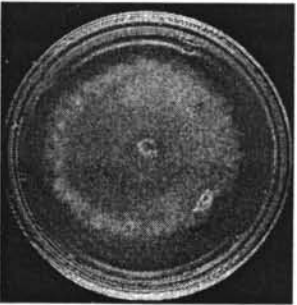
SK4



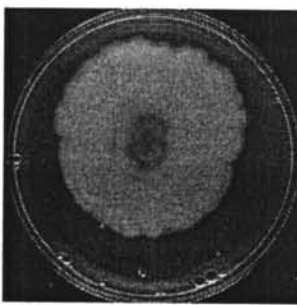
SK5



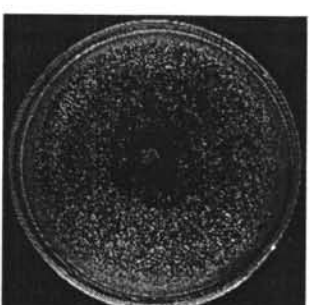
YSH1



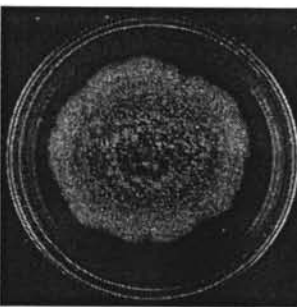
YSH2



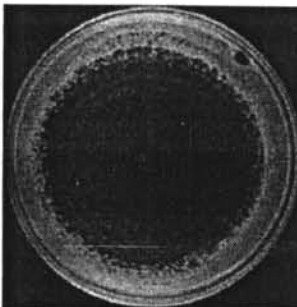
YSH3



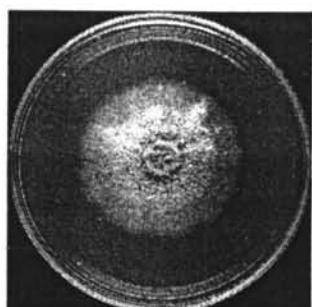
SIDI



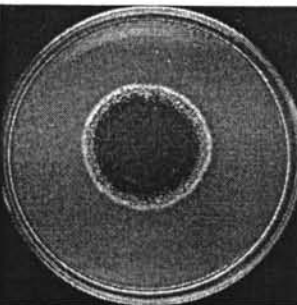
PFA



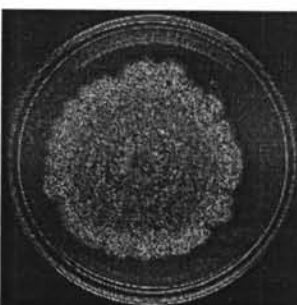
PFB1



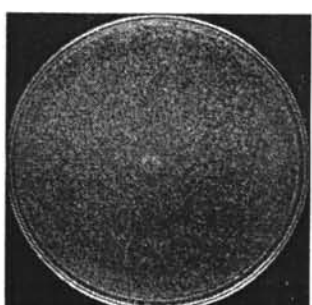
PFB2



PFB3



PFC1

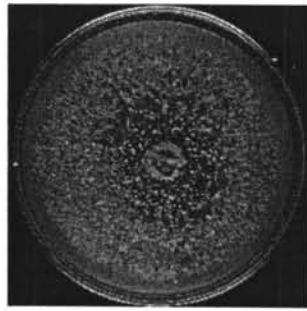


PFC2

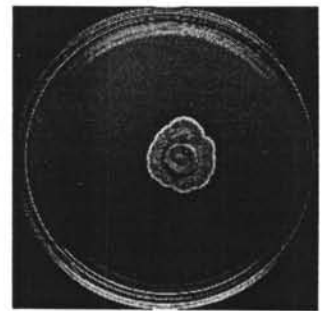
รูปที่ 4 (ต่อ)



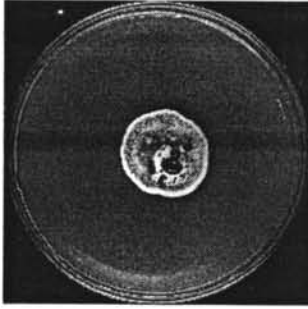
PS1



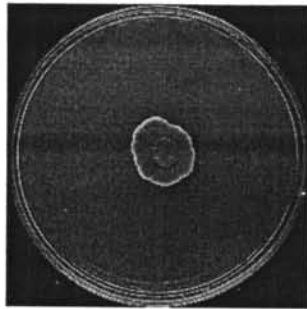
PS2



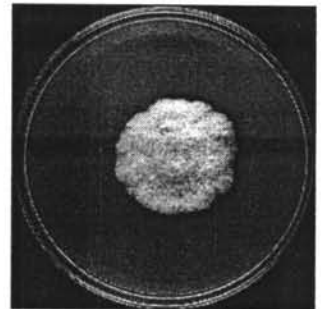
COA1



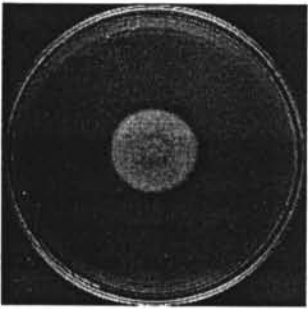
COA2



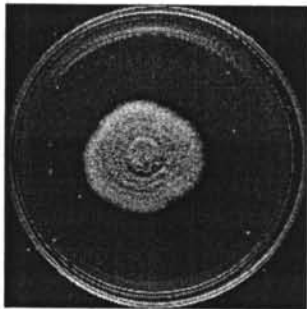
COA3



COB



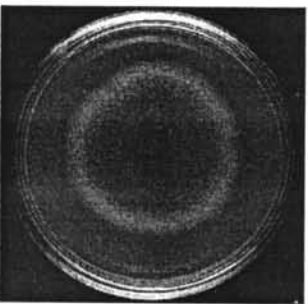
SSF1



SSF2



SSF3



SSF4

รูปที่ 4 (ต่อ)

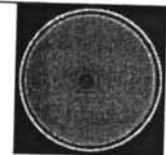
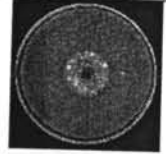
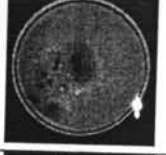

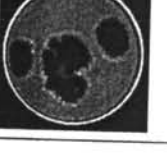
## 2. การคัดเลือกกราฟที่มีความสามารถในการผลิตไลเพส

จากการทดสอบความสามารถในการผลิตไลเพสของราที่แยกได้จำนวน 70 ไอโซเลต เมื่อเลี้ยงบนอาหารเลี้ยงเชื้อกึ่งแข็ง BYPO ที่เติมโรดามีน บี เป็นเวลา 7 วัน โดยราที่สามารถผลิตไลเพสได้จะมีการเรืองแสงสีส้ม ภายใต้รังสีอัลตราไวโอเลตความยาวคลื่น 350 นาโนเมตร พบว่าสามารถคัดเลือกกราฟที่สามารถผลิตไลเพสได้ทั้งสิ้น 38 ไอโซเลต (ตารางที่ 4)

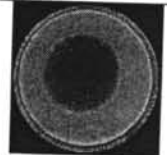
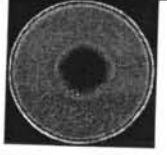



## 3. การเปรียบเทียบความสามารถในการเร่งปฏิกิริยาด้วยไลเพสของราที่คัดเลือกได้

จากการตรวจวัดความสามารถในการเร่งปฏิกิริยาของเอนไซม์ไลเพสของราที่มีการเรืองแสงบนอาหารเลี้ยงเชื้อกึ่งแข็ง BYPO ที่เติมโรดามีน บี ภายใต้รังสีอัลตราไวโอเลตทั้ง 38 ไอโซเลต พบว่าราไอโซเลต NAN103 ที่แยกได้จากดินในป่าเต็งรัง จ.น่าน มีค่าแอกทิวิตีจำเพาะ  $87.73 \pm 0.99$  ยูนิตต่อมิลลิกรัม เป็นไอโซเลตที่มีค่าแอกทิวิตีจำเพาะสูงที่สุดของไอโซเลตราที่ทำการคัดเลือกทั้งหมด (ดังรูปที่ 5)

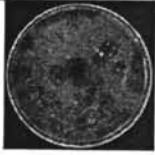

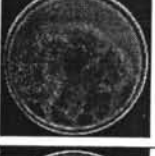
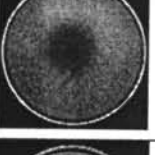

ตารางที่ 4 ผลการทดสอบราที่คัดเลือกจากแหล่งต่าง ๆ บนอาหารโรดามีน บี

ไอโซเลต	ผลเรืองแสงบนอาหารโรดามีน บี	รูปร่างบนอาหารโรดามีน บี
CU1	-	
CU2	+	
CU3	+	
CU4	-	
CU5	+	

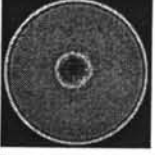

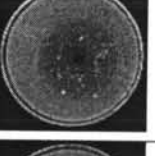
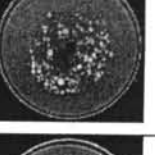
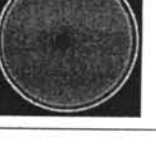
ตารางที่ 4 (ต่อ)

ไอโซเลต	ผลเรืองแสงบนอาหารโรดามีน บี	รูปร่างบนอาหารโรดามีน บี
SKP1	+	
SKP2	+	
SKP3	-	
SKP4	+	
PAI1	+	

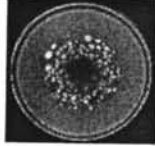
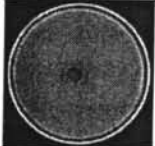
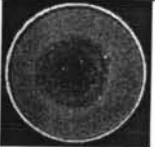

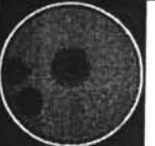
ตารางที่ 4 (ต่อ)

ไอโซเลต	ผลเรียงแสงบนอาหารโรดามีน บี	รูปรานอาหารโรดามีน บี
PAI2	+	
PAI3	-	
PAI4	+	
PAI5	-	
PAI6	-	


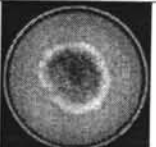
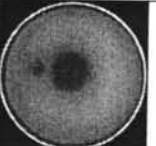
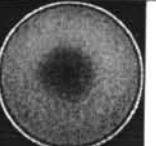
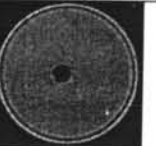
ตารางที่ 4 (ต่อ)

ไอโซเลต	ผลเรียงแสงบนอาหารโรดามีน บี	รูปรานอาหารโรดามีน บี
NAN101	+	
NAN102	-	
NAN103	+	
NAN104	+	
NAN105	-	


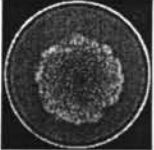

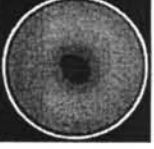
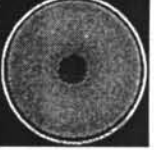
ตารางที่ 4 (ต่อ)

ไอโซเลต	ผลเรื่องแสงบนอาหารโรดามีน บี	รูปร่างบนอาหารโรดามีน บี
NAN106	+	
NAN107	-	
NAN108	+	
NAN109	-	
PI1	-	

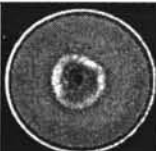
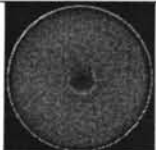
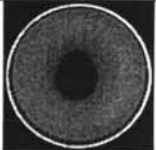
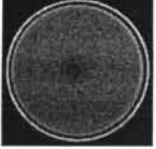
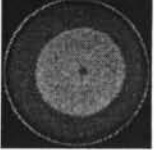
ตารางที่ 4 (ต่อ)

ไอโซเลต	ผลเรื่องแสงบนอาหารโรดามีน บี	รูปร่างบนอาหารโรดามีน บี
PI2	-	
PI3	+	
KB1	-	
KB2	-	
SH1	-	

ตารางที่ 4 (ต่อ)

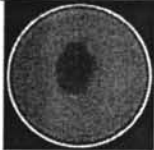
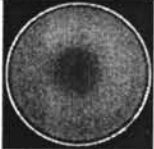
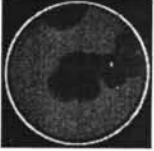


ไอโซเลต	ผลเรืองแสงบนอาหารโรดามีน บี	รูปรานบนอาหารโรดามีน บี
SH2	+	
SH3	+	
SH4	-	
SH5	-	
SH6	-	

ตารางที่ 4 (ต่อ)

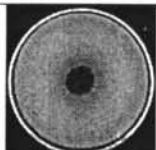
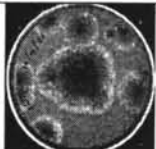
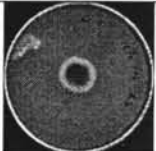

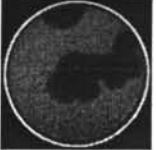
ไอโซเลต	ผลเรืองแสงบนอาหารโรดามีน บี	รูปรานบนอาหารโรดามีน บี
KBP1	+	
KBP2	-	
KBP3	-	
SVL1	-	
SVL2	+	



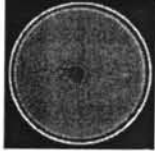
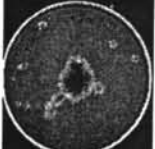


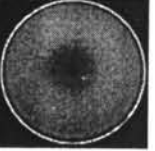
ตารางที่ 4 (ต่อ)

ไอโซเลต	ผลเรืองแสงบนอาหารโรดามีน บี	รูปภาพบนอาหารโรดามีน บี
AU1	-	
AU2	-	
MD1	-	
MD2	+	
MD3	-	

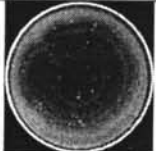

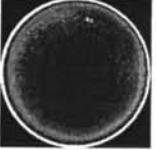
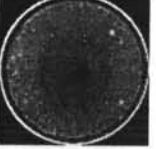

ตารางที่ 4 (ต่อ)

ไอโซเลต	ผลเรืองแสงบนอาหารโรดามีน บี	รูปภาพบนอาหารโรดามีน บี
SK1	-	
SK2	+	
SK3	+	
SK4	+	
SK5	-	

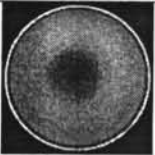

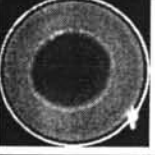


ตารางที่ 4 (ต่อ)

ไอโซเลต	ผลเรืองแสงบนอาหารโรดามีน บี	รูปรานอาหารโรดามีน บี
YSH1	-	
YSH2	+	
YSH3	+	
SIDI	+	
PFA	-	

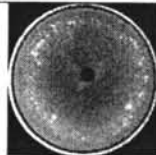
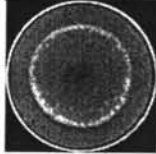
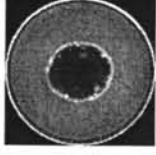

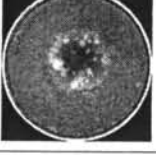
ตารางที่ 4 (ต่อ)

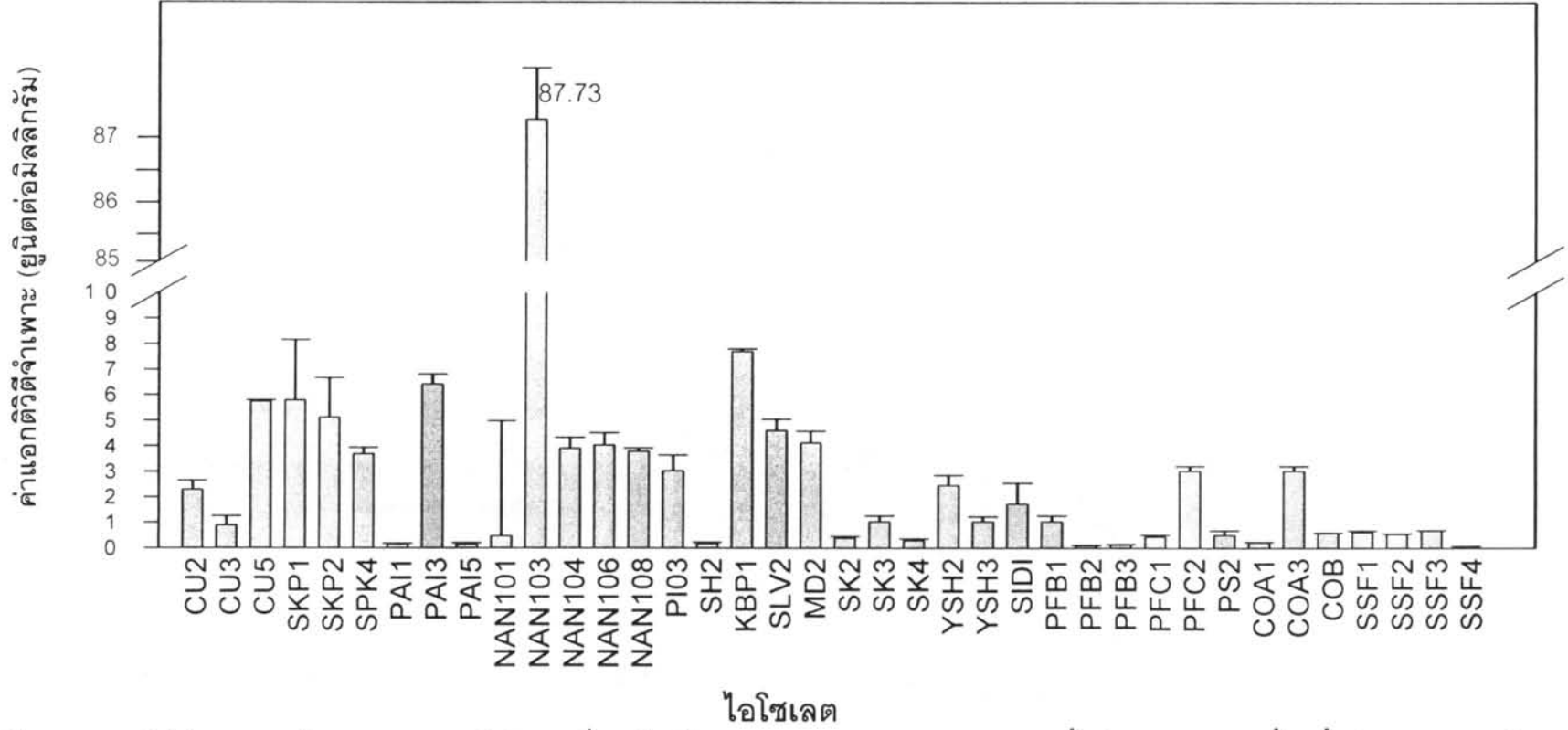
ไอโซเลต	ผลเรืองแสงบนอาหารโรดามีน บี	รูปรานอาหารโรดามีน บี
PFB1	+	
PFB2	+	
PFB3	+	
PFC1	+	
PFC2	-	

ตารางที่ 4 (ต่อ)

ไอโซเลต	ผลเรืองแสงบนอาหารโรดามีน บี	รูปรานบนอาหารโรดามีน บี
PS1	-	
PS2	+	
COA1	+	
COA2	-	
COA3	+	

ตารางที่ 4 (ต่อ)

ไอโซเลต	ผลเรืองแสงบนอาหารโรดามีน บี	รูปรานบนอาหารโรดามีน บี
COB	+	
SSF1	+	
SSF2	+	
SSF3	+	
SSF4	+	

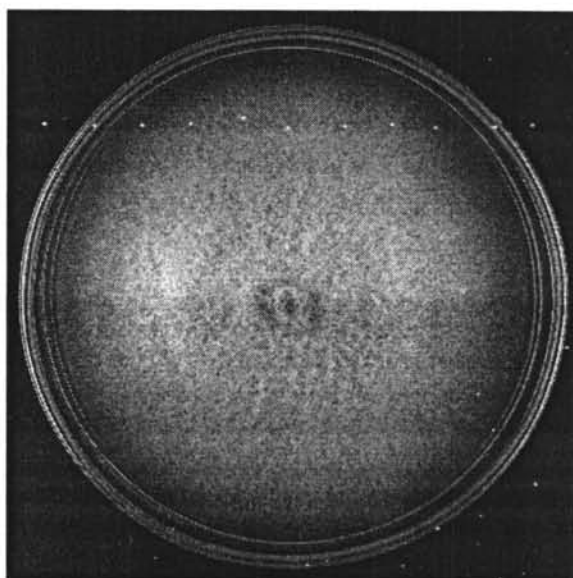


รูปที่ 5 ค่าแอกติวิตีจำเพาะของไลเฟสจากรา 38 ไอโซเลต ที่คัดเลือกได้จากแหล่งตัวอย่างต่าง ๆ หลังจากเลี้ยงในอาหารเหลวเลี้ยงเชื้อสำหรับการผลิตไลเฟส (LP medium) ที่ 30 องศาเซลเซียส โดยเขย่าเป็นเวลา 3 วัน ค่าที่ได้มาจากการเฉลี่ยการทดลอง 3 ซ้ำ (ยูนิต: นาโนโมลของพารา-ไนโตรฟีนอลที่ปล่อยออกมาในปฏิกิริยาต่อนาที)

#### 4. การศึกษาลักษณะทางสัณฐานวิทยาและอนุพันธุศาสตร์ของราที่คัดเลือกได้เพื่อระบุสายพันธุ์

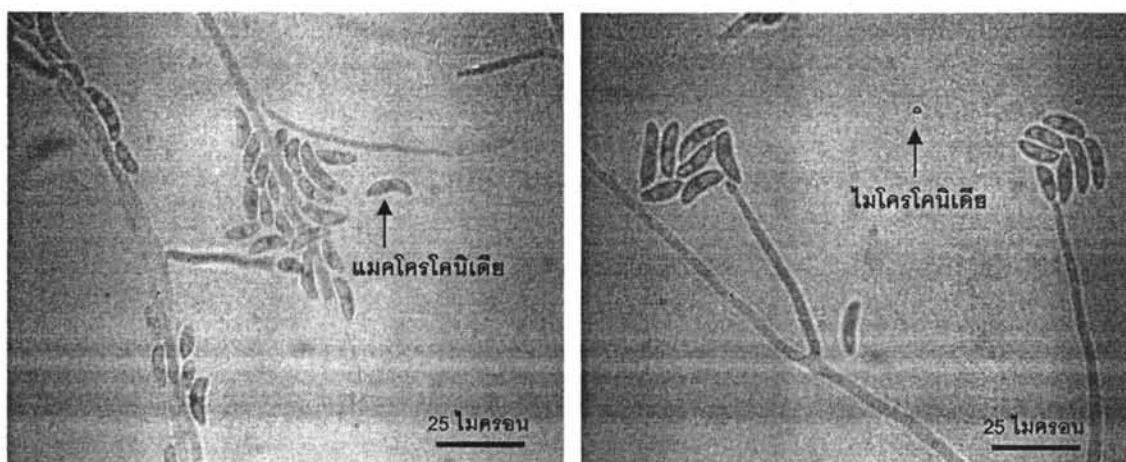
##### 4.1 การศึกษาลักษณะทางสัณฐานวิทยาของราไอโซเลต NAN103

ราไอโซเลต NAN103 เป็นราเส้นใยที่สามารถแยกได้จากดินในป่าเต็งรัง จ.น่าน ลักษณะสัณฐานวิทยาของโคโลนีที่เจริญบนอาหารเลี้ยงเชื้อกึ่งแข็ง PDA เป็นเวลา 7 วัน คือ มีเส้นใยสีขาวฟู ขอบโคโลนีเรียบ (รูปที่ 6) มีการสร้างสปอร์แต่จะเห็นไม่ชัดเจน ต้องศึกษาสปอร์ภายใต้กล้องจุลทรรศน์



รูปที่ 6 ลักษณะสัณฐานวิทยาของโคโลนีที่เจริญบนอาหารเลี้ยงเชื้อกึ่งแข็ง PDA เป็นเวลา 7 วันของราไอโซเลต NAN103

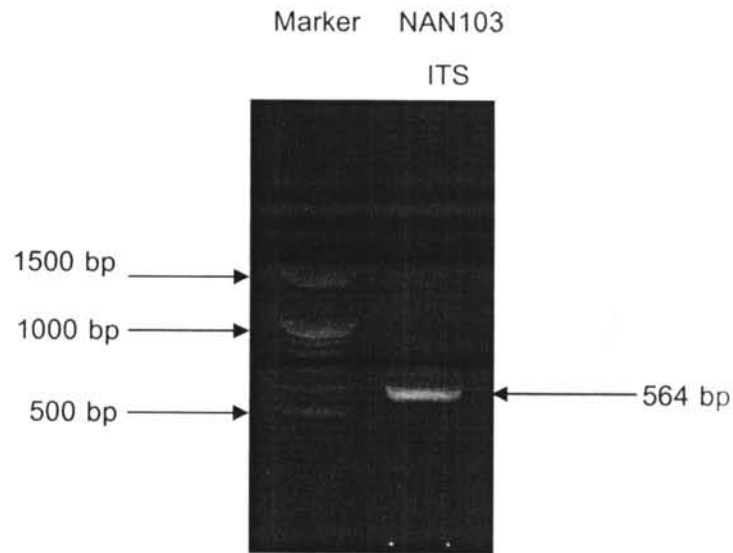
ส่วนลักษณะสัณฐานวิทยาของเส้นใยและสปอร์ภายใต้กล้องจุลทรรศน์พบว่าราไอโซเลต NAN103 มีเส้นใยแบบมีผนังกัน มีโคนดิโอสปอร์เป็นลักษณะยาวรี มีขนาดสปอร์เล็ก (microconidia) และใหญ่ (macroconidia) ปะปนกัน แต่ละสปอร์ประกอบด้วยเซลล์จำนวน 1-4 เซลล์ (รูปที่ 7)



รูปที่ 7 ลักษณะสัณฐานวิทยาของเส้นใยและโคนิเดียมภายใต้กล้องจุลทรรศน์ของราไอโซเลต NAN103 ที่เจริญบนชิ้นอาหารเลี้ยงเชื้อกึ่งแข็ง PDA เป็นเวลา 2 วัน ที่อุณหภูมิห้อง

#### 4.2 การศึกษาอนุพันธุศาสตร์เพื่อระบุสายพันธุ์ของราไอโซเลต NAN103

จากการตรวจสอบลำดับเบส ITS 564 คู่เบส (รูปที่ 9) หลังจากการเพิ่มดีเอ็นเอด้วยเทคนิค PCR การโคลน และการวิเคราะห์ลำดับเบส (ไพรเมอร์ ITS1F และ ITS4)(รูปที่ 8) เมื่อนำข้อมูลลำดับเบสที่ได้มาเปรียบเทียบกับข้อมูลลำดับเบสจาก GenBank พบว่าข้อมูลลำดับเบสบริเวณ ITS ของราไอโซเลต NAN103 ที่ได้มีความคล้ายคลึงกับลำดับเบสบริเวณ ITS ของรา *Fusarium solani* โดยมี Query coverage 100 เปอร์เซ็นต์ คะแนนรวม 1070 บิต (bits) และ Identity สูงสุด 98 เปอร์เซ็นต์ คือ *Fusarium sp.*(accession : AB255352.1) และที่ Query coverage 98 เปอร์เซ็นต์ มีคะแนนรวม 1063 บิต (bits) และ Identity สูงสุด 99 เปอร์เซ็นต์ คือ *Fusarium solani* (accession : AM412642.1) (ภาคผนวก ข)



รูปที่ 8 ชิ้นส่วนดีเอ็นเอบริเวณ ITS ที่เพิ่มดีเอ็นเอด้วยเทคนิค PCR โดยการใส่ไพรเมอร์ ITS1F และ ITS4 หลังจากแยกบน 1.5 เปอร์เซ็นต์ เจลอะกาโรส ที่กระแสไฟฟ้าความต่างศักย์ 100 โวลต์ เป็นเวลา 60 นาที แล้วย้อมด้วยเอธิเดียมโบรไมด์

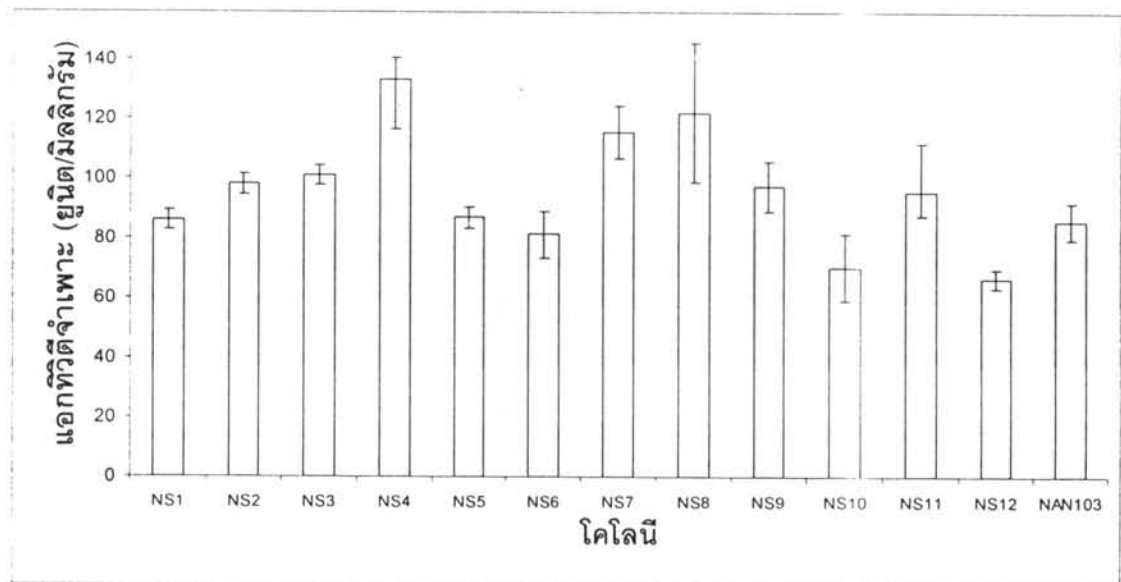
```
TTAAGTTCAGCGGGTATTCCTACCTGATTCGAGGTCAACATTCAGAAGTTG
GGTGTITTTACGGCGTGGCCGCGCCGCTCTCCAGTTGCGAGGTGTTAGCTAC
TACGCAATGGAAGCTGCGGGCGGACCGCCACTGTATTTGGGGGACGGCGT
TGTGCCACAGGGGGCTTCCGCGGATCCCCAACGCCAGACCCGGGGGCCT
GAGGGTTGTAATGACGCTCGAACAGGCATGCCCGCCAGAATACTGGCGGG
CGCAATGTGCGTTCAAAGATTCGATGATTCACTGAATTCTGCAATTCACAT
TACTTATCGCATTTTCGCTGCGTTCCTTCATCGATGCCAGAGCCAAGAGATCC
GTTGTTGAAAGTTTTGATTTATTTGCTTGTTTACTCAGAAAAAACATTATA
GAAACAGAGTTAGGGGGTCCCTCTGGCGGGGGCGGCCCGTGTTACGGGGCC
GTCTGTTCCCGCCGAGGCAACGTTTTAGGTATGTTACAGGGTTGATGAGT
TGATAACTCGGTAATGATCCCTCCGCTGGTTCACCAACGGAGACCTTGTT
ACGACTT
```

รูปที่ 9 ลำดับเบสบริเวณ ITS ของราไอโซเลต NAN103 ที่เพิ่มดีเอ็นเอด้วยเทคนิค PCR โดยการใส่ไพรเมอร์ ITS1F และ ITS4

## 5 ชักนำให้เกิดมิวเทชันและการคัดเลือกในราที่คัดเลือกได้

### 5.1 การคัดเลือกราโคโลนีเดี่ยวจากราไอโซเลต NAN103

การคัดเลือกราโคโลนีเดี่ยวจากราไอโซเลต NAN103 โดยทำการเก็บราที่มีการเจริญแยกเป็นโคโลนีเดี่ยว ได้ทั้งหมด 12 ไอโซเลต คือ NS1 NS2 NS3 NS4 NS5 NS6 NS7 NS8 NS9 NS10 NS11 และ NS12 นำราทั้ง 12 ไอโซเลต มาวัดค่าแอกทิวิตี ปริมาณโปรตีนทั้งหมด และคำนวณค่าแอกทิวิตีจำเพาะ โดยพบว่าราที่แยกได้ไอโซเลต NS4 มีค่าแอกทิวิตีจำเพาะเฉลี่ยสูงสุด คือ  $132.64 \pm 7.68$  หน่วยต่อมิลลิกรัม (รูปที่ 10) เมื่อเปรียบเทียบกับราไอโซเลต NAN103 พบว่ามีความแตกต่างอย่างมีนัยสำคัญทางสถิติ



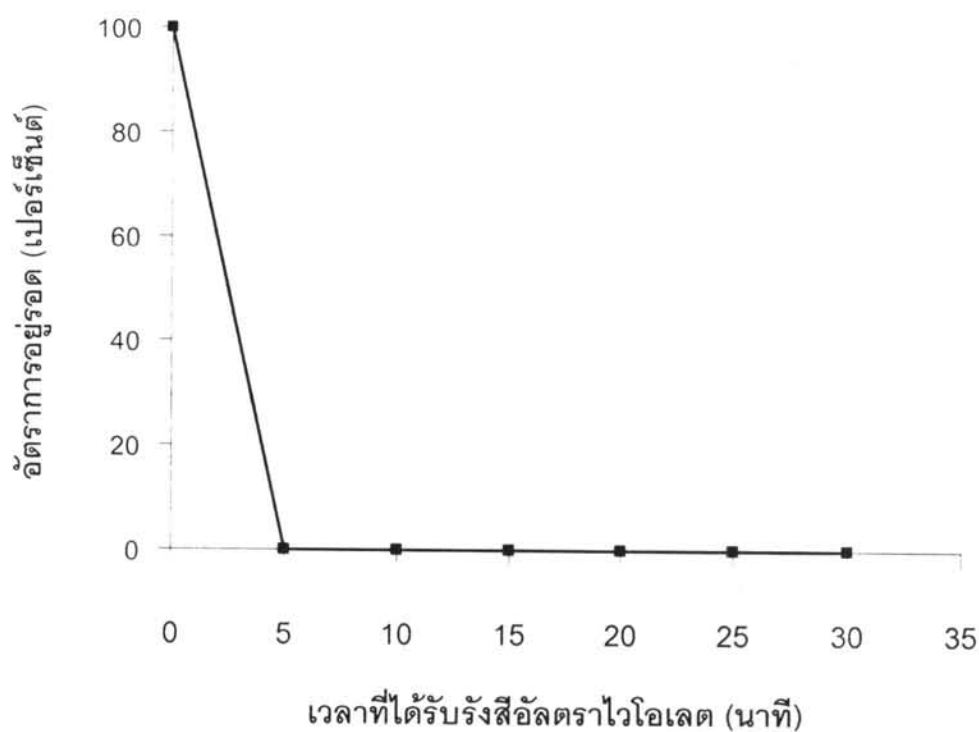
รูปที่ 10 ค่าแอกทิวิตีจำเพาะของไลเพสจากราที่คัดเลือกจากสปอร์เดี่ยว

(หน่วย: นาโนโมลของพารา-ไนโตรฟีนอลที่ปล่อยออกมาในปฏิกิริยาต่อนาที)

### 5.2 การชักนำให้เกิดมิวเทชันของราโดยใช้รังสีอัลตราไวโอเล็ต

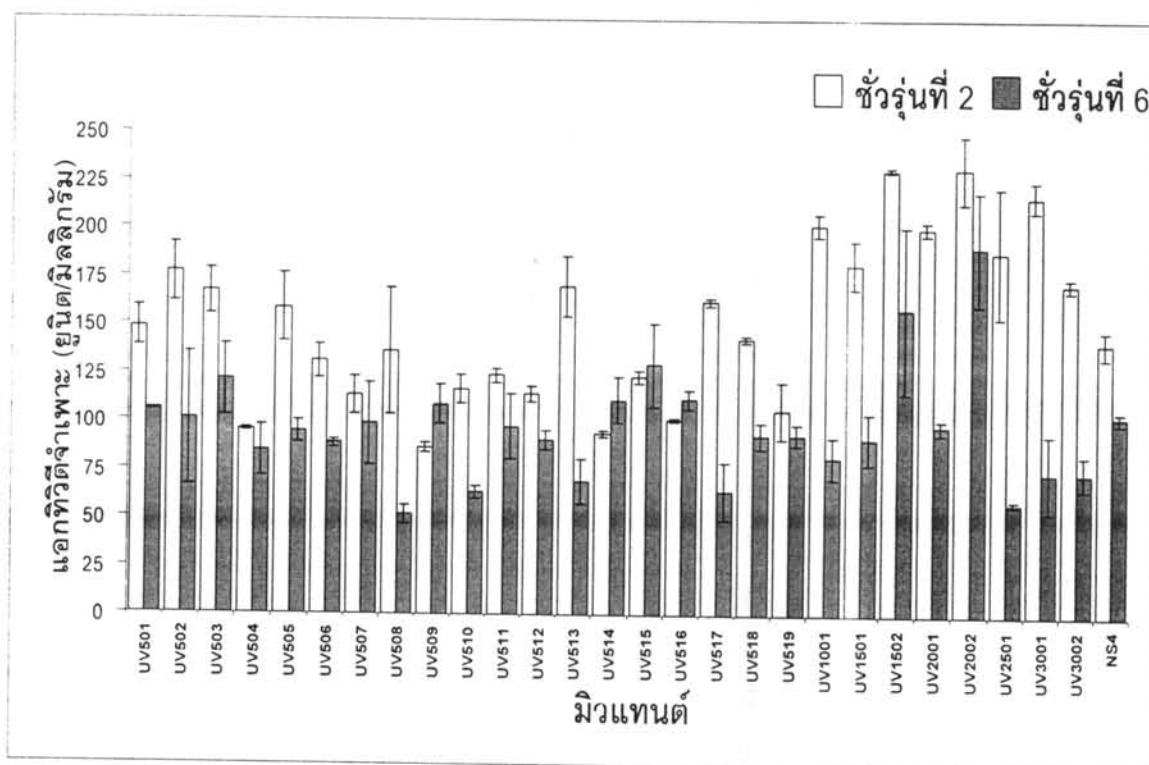
นำราไอโซเลต NS4 ที่มีค่าแอกทิวิตีจำเพาะสูงสุดจากการคัดเลือกสปอร์เดี่ยวมาชักนำให้เกิดมิวเทชันโดยใช้รังสีอัลตราไวโอเล็ตที่ช่วงเวลาต่าง ๆ พบว่าช่วงเวลาของการฉายรังสีที่ทำให้รา มีอัตราการอยู่รอด 1 เปอร์เซ็นต์ อยู่ที่ 5 นาที (รูปที่ 11)





รูปที่ 11 กราฟแสดงความสัมพันธ์ระหว่างเวลาของการฉายรังสีอัลตราไวโอเล็ตกับเปอร์เซ็นต์อัตราการอยู่รอดของราไอโซเลต NS4

ทำการเก็บเชื้อที่สามารถอยู่รอดในแต่ละช่วงเวลา ซึ่งได้ทั้งหมด 27 ไอโซเลต คือ UV501 UV502 UV503 UV504 UV505 UV506 UV507 UV508 UV509 UV510 UV511 UV512 UV513 UV514 UV515 UV516 UV517 UV518 UV519 UV1001 UV1501 UV1502 UV2001 UV2002 UV2501 UV3001 และ UV3002 จากนั้นนำราทั้ง 27 ไอโซเลต มาวัดค่าแอกทิวิตี ปริมาณโปรตีนทั้งหมดและ คำนวณค่าแอกทิวิตีจำเพาะในชั่วโมงที่ 2 และ ชั่วโมงที่ 6 (ภาคผนวก ข และ รูปที่ 12)

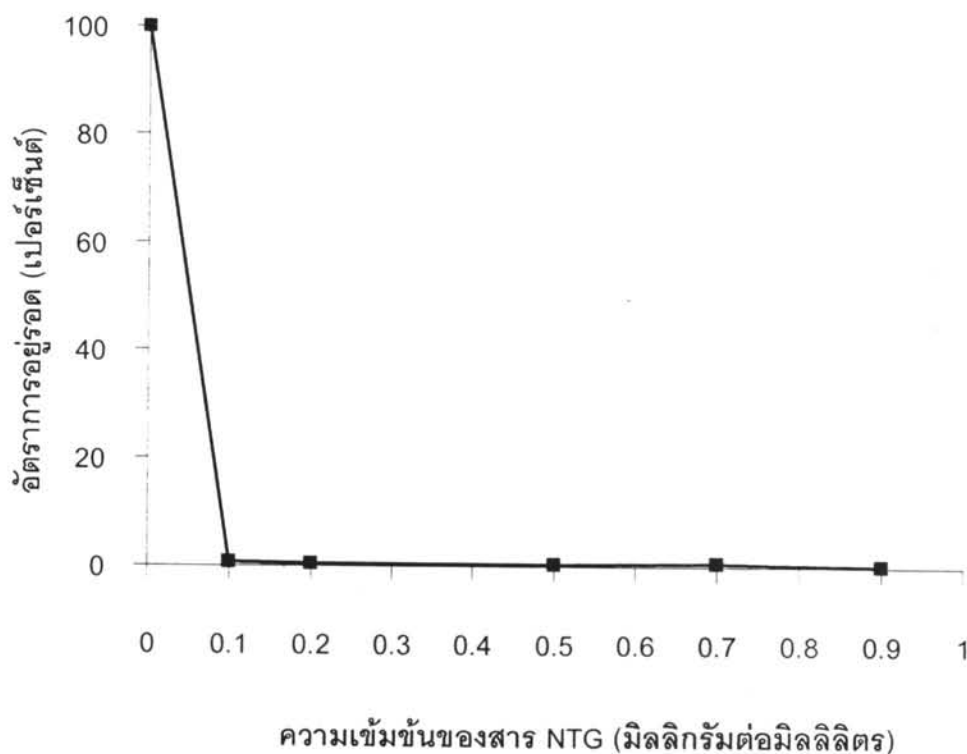


รูปที่ 12 ค่าแอกทิวิตีจำเพาะของไลเพสจากราที่ผ่านการฉายรังสีอัลตราไวโอเล็ตที่ช่วงเวลา 5–30 นาทีเปรียบเทียบกับสายพันธุ์เดิมคือราไอโซเลต NS4 (ยูนิต: นาโนโมลของพารา-ไนโตรฟีนอลที่ปล่อยออกมาในปฏิกิริยาต่อนาที)

จากการทดลองเลี้ยงราที่ผ่านการฉายรังสีอัลตราไวโอเล็ตที่ช่วงเวลา 5–30 นาที ที่ชั่วคราวที่ 2 และชั่วคราวที่ 6 แล้วนำมาวัดค่าแอกทิวิตีจำเพาะพบว่าเมื่อเลี้ยงราถึงชั่วคราวที่ 6 ค่าแอกทิวิตีจำเพาะของแต่ละโคโลนีส่วนใหญ่มีค่าที่สูงกว่าค่าแอกทิวิตีจำเพาะของราชั่วคราวที่ 2 ดังแสดงในรูปที่ 12 พบว่าราไอโซเลต UV2002 ชั่วคราวที่ 2 และชั่วคราวที่ 6 มีค่าแอกทิวิตีจำเพาะที่สูงและสูงกว่าสายพันธุ์เดิม (ราไอโซเลต NS4) และมิวแทนต์อื่น ๆ ดังนั้นจึงเลือกราไอโซเลต UV2002 ไปชักนำให้เกิดการกลายโดยใช้สาร NTG ต่อไป

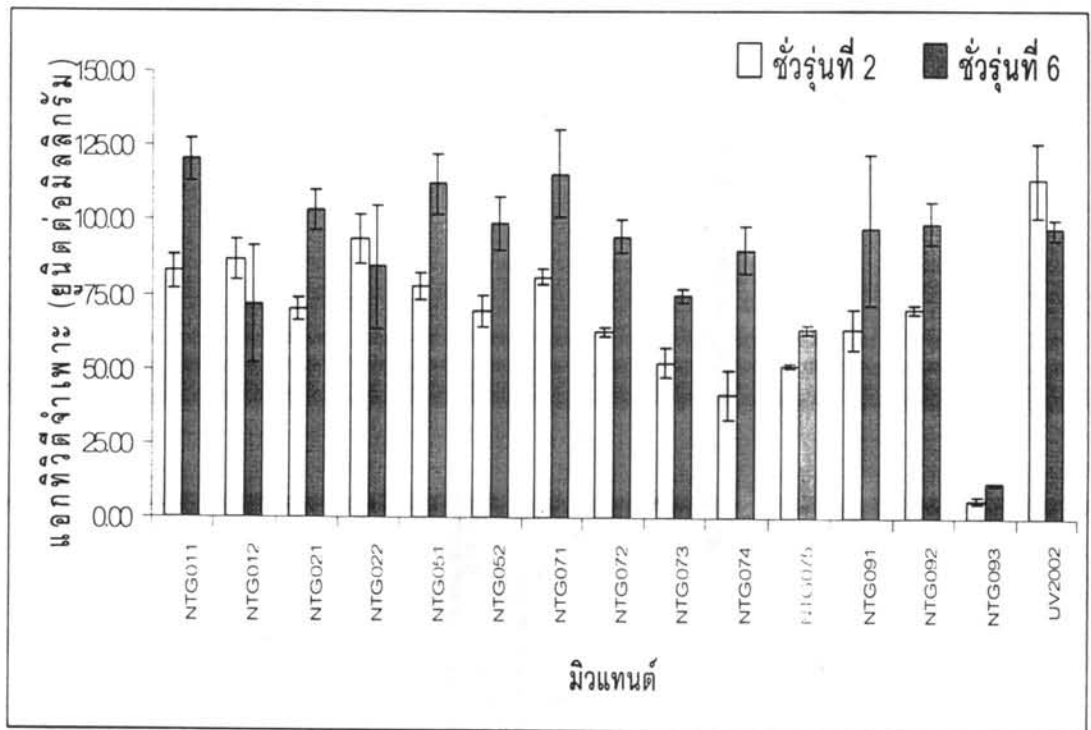
### 5.3 การชักนำให้เกิดมิวแทนต์ของราโดยใช้สาร NTG

นำราไอโซเลต UV2002 ที่มีค่าแอกทิวิตีจำเพาะสูงสุดหลังจากการชักนำให้เกิดมิวแทนต์โดยใช้รังสีอัลตราไวโอเล็ต มาชักนำให้เกิดมิวแทนต์โดยใช้สาร NTG จากการศึกษาผลของ NTG ที่ความเข้มข้น 0.1–0.9 มิลลิกรัมต่อมิลลิลิตรที่มีต่อราไอโซเลต UV2002 พบว่าอัตราการอยู่รอดของราที่ 1 เปอร์เซ็นต์ อยู่ที่ความเข้มข้น 0.1 มิลลิกรัมต่อมิลลิลิตร (ภาคผนวก ข และ รูปที่ 13)



รูปที่ 13 กราฟแสดงความสัมพันธ์ระหว่างความเข้มข้นของสาร NTG ที่ใช้ในการชักนำกับเปอร์เซ็นต์อัตราการดูดซับของราไฮโซเลต UV2002

ราไฮโซเลต UV2002 เมื่อนำมาชักนำให้เกิดมิวเทชันโดยใช้สาร NTG ที่ความเข้มข้น 0.1 - 0.9 มิลลิกรัมต่อมิลลิลิตร พบว่าราที่มีอัตราการดูดซับ 1 เปอร์เซ็นต์ อยู่ที่ความเข้มข้น 0.1 - 0.9 มิลลิกรัมต่อมิลลิลิตรจึงทำการเก็บเชื้อที่สามารถดูดซับในแต่ละความเข้มข้น ซึ่งคัดเลือกได้ทั้งหมด 14 ไฮโซเลต คือ NTG011 NTG012 NTG021 NTG022 NTG051 NTG052 NTG071 NTG072 NTG073 NTG074 NTG075 NTG091 NTG092 และ NTG093 จากนั้นนำรา 14 ไฮโซเลตมาวัดค่าแอกทิวิตี ปริมาณโปรตีนทั้งหมดและคำนวณค่าแอกทิวิตีจำเพาะในชั่วรุ่นที่ 2 และชั่วรุ่นที่ 6 (ภาคผนวก ข และ รูปที่ 14)

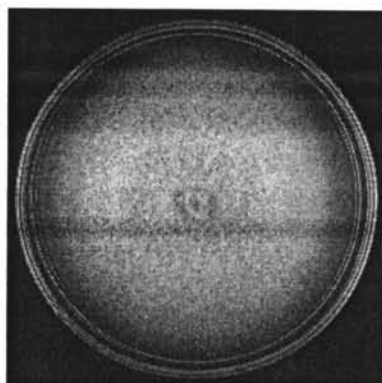


รูปที่ 14 ค่าแอกทिवิตีจำเพาะของไลเพสจากราที่ถูกชักนำด้วยสาร NTG ที่ความเข้มข้น 0.1–0.9 มิลลิกรัมต่อมิลลิลิตรเปรียบเทียบกับสายพันธุ์เดิมราไอโซเลต UV2002 (ยูนิต:นาโนโมลของพารา-ไนโตรฟีนอลที่ปล่อยออกมาในปฏิกิริยาต่อนาที)

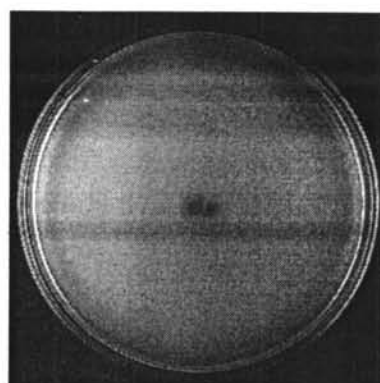
จากการทดลองเลี้ยงราที่ถูกชักนำด้วยสาร NTG ที่ความเข้มข้น 0.1–0.9 มิลลิกรัมต่อมิลลิลิตรที่ช่วงที่ 2 และช่วงที่ 6 แล้วนำมาวัดค่าแอกทिवิตีจำเพาะดังแสดงในรูปที่ 14 พบว่าราที่ผ่านการชักนำด้วยสาร NTG ที่ความเข้มข้นดังกล่าว ราที่ถูกคัดเลือกมามีค่าแอกทिवิตีจำเพาะต่ำกว่าสายพันธุ์เดิมทุกไอโซเลต และเมื่อเลี้ยงราถึงช่วงที่ 6 ค่าแอกทिवิตีจำเพาะของราก็สูงขึ้นกว่าช่วงที่ 2 ยกเว้น NTG022 ที่มีค่าแอกทिवิตีจำเพาะต่ำลงเล็กน้อยและ NTG022 ในช่วงที่ 2 ก็มีค่าแอกทिवิตีจำเพาะสูงกว่าไอโซเลตอื่น ๆ แต่ก็ยังต่ำกว่าสายพันธุ์เดิม แต่เนื่องจาก NTG022 มีความเสถียรกว่าไอโซเลตอื่น ๆ จึงทำการเลือก NTG022 มาใช้ในการทดลองต่อไป

## 6. ศึกษาลักษณะของราสายพันธุ์เดิมและมิวแทนต์

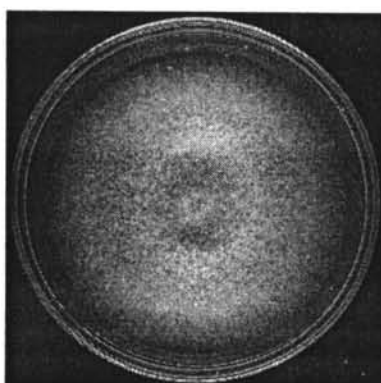
6.1 การศึกษาลักษณะทางสัณฐานวิทยาของราสายพันธุ์เดิมและมิวแทนต์บนอาหารเลี้ยงเชื้อ  
กึ่งแข็ง PDA



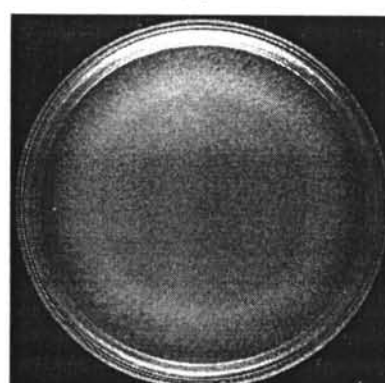
(ก)



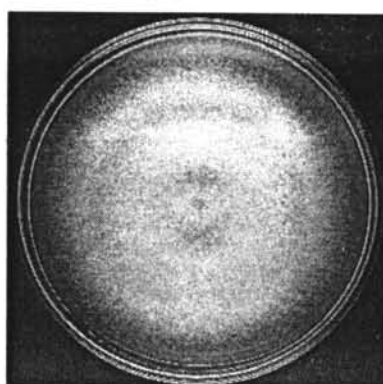
(ข)



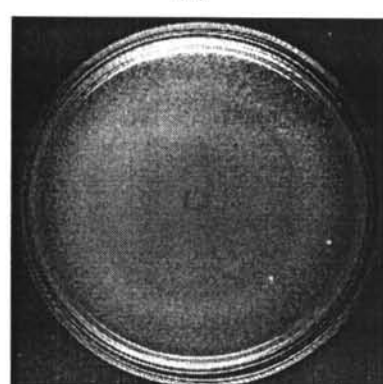
(ค)



(ง)



(จ)



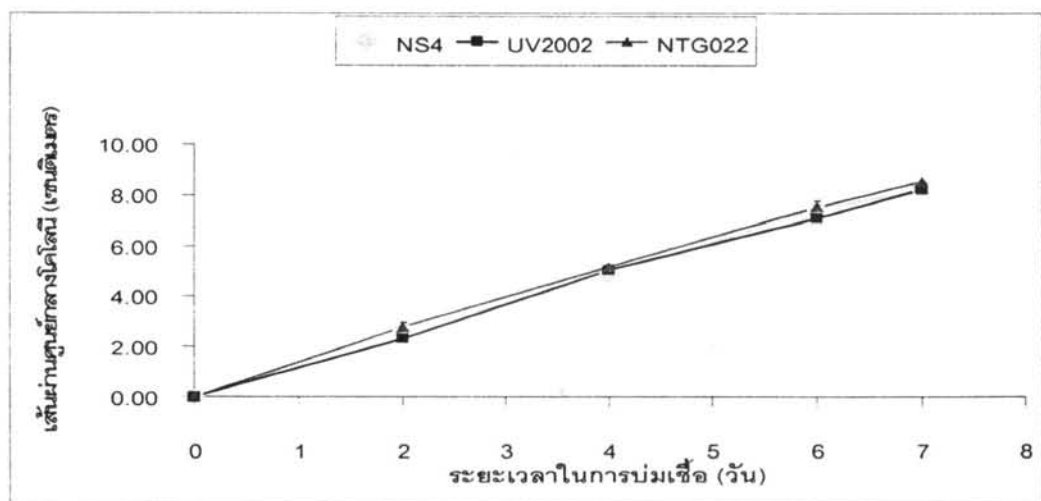
(ฉ)

รูปที่ 15 ลักษณะโคโลนีด้านหน้าของราไอโซเลต NS4 (ก) UV2002 (ค) NTG022 (จ) และ  
ลักษณะโคโลนีด้านหลังของของราไอโซเลต NS4 (ข) UV2002 (ง) NTG022 (ฉ)

จากการนำราสายพันธุ์เดิมและมิวแทนต์มาเลี้ยงบนอาหารเลี้ยงเชื้อกึ่งแข็ง PDA ที่ผ่านการฆ่าเชื้อแล้ว เป็นเวลา 7 วัน มีลักษณะโคโลนีและเส้นใยแตกต่างกันเพียงเล็กน้อย กล่าวคือ ราไอโซเลต NS4 ถือเป็นราสายพันธุ์เดิมเส้นใยฟูโคโลนีสีขาวทั้งโคโลนีดังรูปที่ 15 (ก) ส่วนมิวแทนต์คือ ราไอโซเลต UV2002 ซึ่งได้จากการชักนำให้เกิดมิวแทนต์ด้วยการฉายรังสีอัตราไวโอเลตที่ช่วงเวลาที่ 20 นาทีของการฉายรังสี และ ราไอโซเลต NTG022 ซึ่งได้จากการชักนำ ราไอโซเลต UV2002 ด้วยสาร NTG ที่ความเข้มข้น 0.2 มิลลิกรัมต่อมิลลิลิตร มิวแทนต์ทั้งสองมีลักษณะโคโลนีคล้ายคลึงกัน โดยมีลักษณะเส้นใยฟูโคโลนีสีขาวออกเหลืองอ่อน แต่บริเวณตรงกลางโคโลนีมีเส้นใยฟูสีชาวล้วน รอบนอกโคโลนีเส้นใยจะเจริญในแนวเฉียงเล็กน้อย ซึ่งจะมองเห็นว่าเป็นเช่นนั้นเมื่อดูด้านหลังโคโลนีดังรูปที่ 15 (ง) และ (จ) และเมื่อสังเกตด้วยตาเปล่าจะเห็นว่ามีโคโลนีของมิวแทนต์ทั้งสองจะขนาดเล็กกว่าราสายพันธุ์เดิมไอโซเลต NS4 เล็กน้อย ส่วนลักษณะภายใต้กล้องจุลทรรศน์ของราสายพันธุ์เดิมและมิวแทนต์มีลักษณะคล้ายคลึงกัน

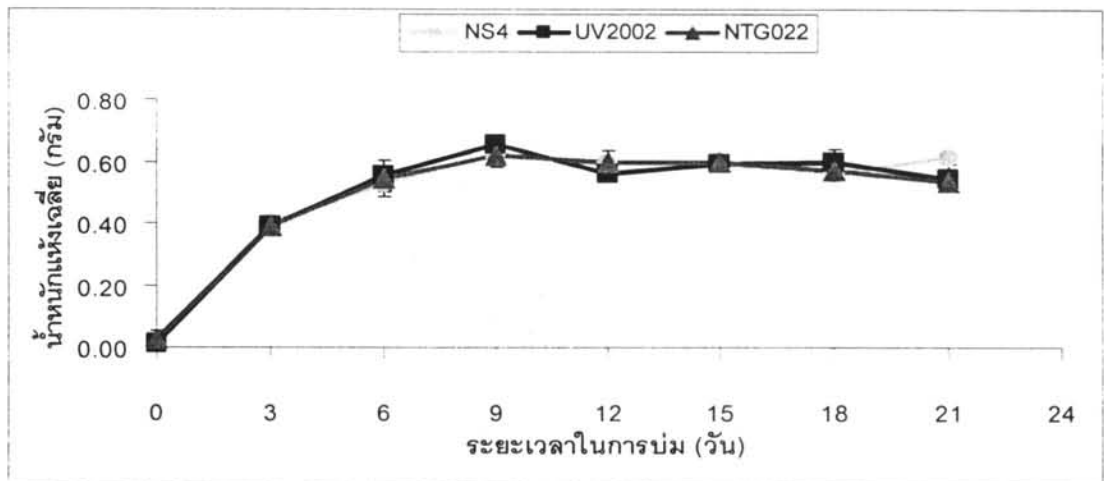
6.2 ผลการศึกษาอัตราการเติบโตของราสายพันธุ์เดิมและมิวแทนต์บนอาหารเลี้ยงเชื้อกึ่งแข็ง PDA และอาหารเหลวสำเร็จรูป PDB

ผลการศึกษาอัตราการเติบโตของ NS4 UV2002 และ NTG022 บนอาหารกึ่งแข็งเลี้ยงเชื้อ PDA โดยการวัดเส้นผ่านศูนย์กลางโคโลนีเป็นเวลา 7 วันโดยวัดผลทุก ๆ 2 วัน พบว่าการเจริญบนอาหารกึ่งแข็งของราไอโซเลต NS4 UV2002 และ NTG022 มีอัตราการเจริญเติบโตไม่แตกต่างกัน (รูปที่ 16)



รูปที่ 16 อัตราการเติบโตของราไอโซเลต NS4 UV2002 และ NTG022 บนอาหารเลี้ยงเชื้อกึ่งแข็ง PDA เป็นเวลา 7 วัน

เมื่อนำเส้นใยของราไอโซเลต NS4 UV2002 และ NTG022 ที่เจริญบนอาหารเลี้ยงเชื้อ กิ่งแข็ง PDA เป็นเวลา 7 วัน มาตัดด้วยเครื่องตัดจุกคอริก เบอร์ 7 ขนาดเส้นผ่านศูนย์กลาง 4 มิลลิเมตร แล้วย้ายชิ้นรุ้นมาเลี้ยงในอาหารเหลว PDB และตรวจวัดน้ำหนักแห้งทุก 3 วัน พบว่าทุก ไอโซเลตมีอัตราการเจริญเติบโตไม่แตกต่างกันโดยในช่วง 3 ถึง 6 วันอยู่ในช่วง Exponential phase และเริ่มเข้าสู่ Stationary phase ในช่วงวันที่ 9 ถึง วันที่ 21 (รูปที่ 17)

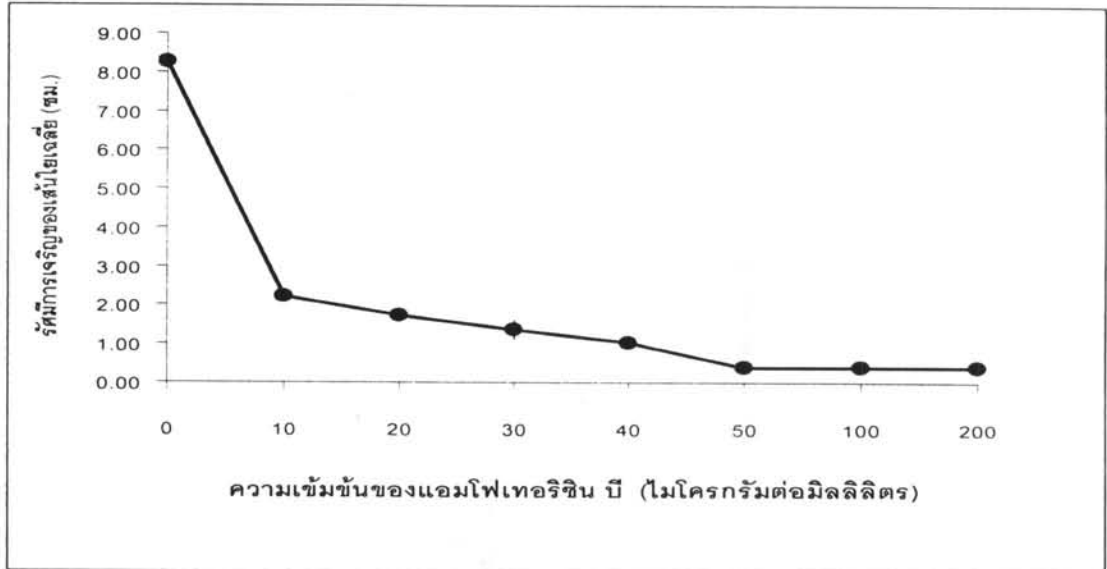


รูปที่ 17. อัตราการเติบโตของราไอโซเลต NS4 UV2002 และ NTG022 ที่เจริญในอาหารเหลวเลี้ยงเชื้อ PDB เป็นเวลา 21 วัน โดยเก็บผลน้ำหนักแห้งทุก 3 วัน

### 6.3 การศึกษาหา Minimum Inhibitory Concentrations (MICs) เพื่อใช้คัดเลือกมิวแทนต์

เมื่อนำราไอโซเลต NS4 ซึ่งเป็นราสายพันธุ์เดิมมาเลี้ยงบนอาหารเลี้ยงเชื้อกิ่งแข็ง PDA ที่เติมคีโตโคนาโซล ที่ความเข้มข้น 0 20 40 60 80 100 120 และ 140 ไมโครกรัมต่อมิลลิลิตร เป็นเวลา 7 วัน พบการเติมคีโตโคนาโซลที่ความเข้มข้นดังกล่าว ไม่มีผลต่อการยับยั้งหรือการเจริญเติบโตของราสายพันธุ์เดิมไอโซเลต NS4 เนื่องจากราสายพันธุ์เดิมยังคงสามารถสร้างเส้นใยและเจริญบนอาหารที่คีโตโคนาโซลได้อยู่ โดยเทียบจากการวัดเส้นผ่านศูนย์กลางโคโลนีในวันที่ 7 เมื่อนำราสายพันธุ์เดิมไอโซเลต NS4 มาเลี้ยงบนอาหารเลี้ยงเชื้อกิ่งแข็ง PDA ที่เติมแอมโฟเทอริซิน บี ที่ความเข้มข้น 0 10 20 30 40 50 100 และ 200 ไมโครกรัมต่อมิลลิลิตร พบว่าเส้นใยราไอโซเลต NS4 สามารถเจริญเติบโตได้ในช่วงความเข้มข้น 0 10 20 30 และ 40 ไมโครกรัมต่อมิลลิลิตร แต่ที่ความเข้มข้น 50 ไมโครกรัมต่อมิลลิลิตร เส้นใยราจะเจริญได้น้อยมากและไม่สามารถสร้างเส้นใยแผ่กว้างไปบนอาหารเลี้ยงเชื้อกิ่งแข็ง PDA ที่เติมแอมโฟเทอริซิน บีได้ จะมีเพียงเส้นใยเล็กน้อยที่เจริญอยู่บนชิ้นรุ้นที่ตัดด้วยเครื่องตัดจุกคอริก ซึ่งอาหารเลี้ยงเชื้อกิ่งแข็ง PDA

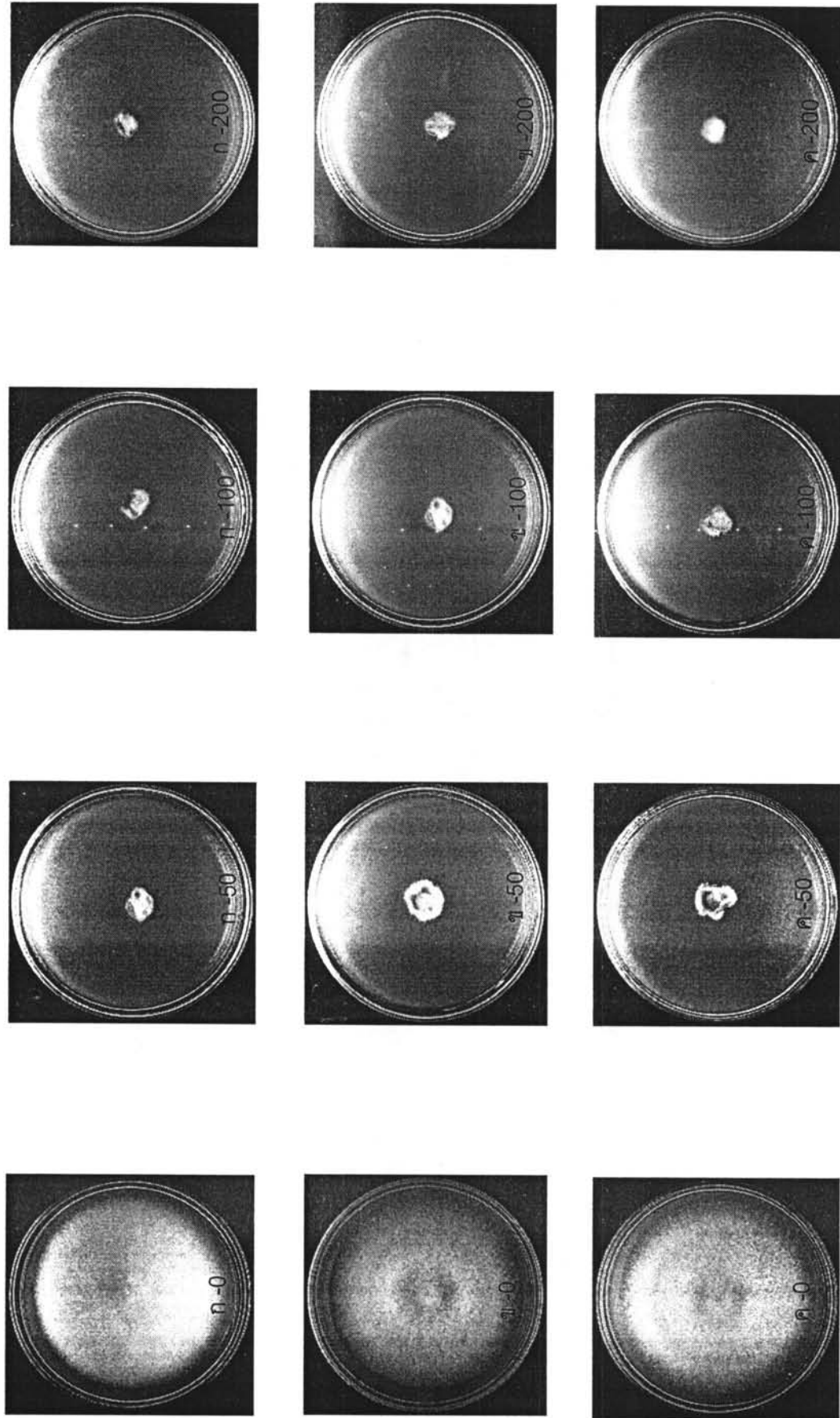
ที่เติมแอมโฟเทอรีซิน บีที่ความเข้มข้น 100 และ 200 ไมโครกรัมต่อมิลลิลิตร เส้นใยราไอโซเลต NS4 ก็เจริญเช่นเดียวกับที่เลี้ยงบนอาหารเลี้ยงเชื้อกึ่งแข็ง PDA ที่เติมแอมโฟเทอรีซิน บีที่ความเข้มข้น 50 ไมโครกรัมต่อมิลลิลิตร ดังแสดงในรูปที่ 18



รูปที่ 18 อัตราการเจริญเติบโตของเส้นใยเชื้อราไอโซเลต NS4 บนอาหารเลี้ยงเชื้อกึ่งแข็ง PDA ที่เติมแอมโฟเทอรีซิน บี เป็นเวลา 7 วัน ที่ความเข้มข้น 10 20 30 40 50 100 และ 200 ไมโครกรัมต่อมิลลิลิตร

เมื่อทดสอบการเจริญของราไอโซเลต NS4 UV2002 และ NTG022 บนอาหารเลี้ยงเชื้อกึ่งแข็ง PDA ที่เติมแอมโฟเทอรีซิน บี เป็นเวลา 7 วัน ที่ความเข้มข้น 0 50 100 และ 200 ไมโครกรัมต่อมิลลิลิตร พบว่าราสายพันธุ์เดิมไอโซเลต NS4 ไม่สามารถเจริญบนอาหารเลี้ยงเชื้อกึ่งแข็ง PDA ที่เติมแอมโฟเทอรีซิน บี ที่ความเข้มข้น 50 100 และ 200 ไมโครกรัมต่อมิลลิลิตร ส่วนราที่ถูกชักนำให้เกิดมิวเทชัน คือ ราไอโซเลต UV2002 และ NTG022 สามารถเจริญบนอาหารเลี้ยงเชื้อกึ่งแข็ง PDA ที่เติมแอมโฟเทอรีซิน บี ที่ความเข้มข้น 50 ไมโครกรัมต่อมิลลิลิตร แต่ที่ความเข้มข้น 100 และ 200 ไมโครกรัมต่อมิลลิลิตร มิวแทนต์ทั้ง 2 ไอโซเลตไม่สามารถเจริญได้ (รูปที่ 19)





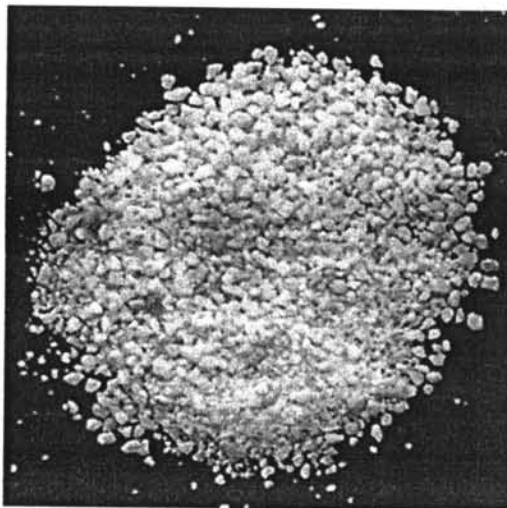
รูปที่ 19 การเจริญของราไฮโซเลต NS4 (ก) UV2002 (ข) และ NTG022 (ค) บนอาหารเลี้ยงเชื้อกิ่งแข็ง PDA ที่เติมแอมโฟเทอรีซิน บี เป็นเวลา 7 วัน ที่ความเข้มข้น 0 50 100 และ 200 ไมโครกรัมต่อมิลลิตร

## 7. การตรึงรูปไลเพสจากราที่คัดเลือกบนวัสดุค้ำจุนและการตรวจสอบปฏิกิริยาทรานส์เอสเทอริฟิเคชันด้วยวิธี TLC และ HPLC

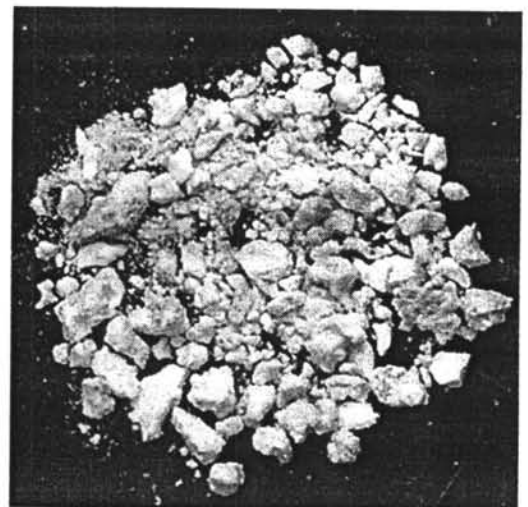
ในการทดลองนี้ได้เลือกวัสดุค้ำจุน 2 ชนิด คือ โดโลไมต์ และไดอะตอมมาเซียส เอิร์ธ เพื่อทดสอบเบื้องต้นในการที่จะนำไปใช้ตรึงรูปไลเพสของราไอโซเลต NAN103 ผลการทดลองจากการคำนวณหาค่าปริมาณโปรตีนที่ใช้ (protein loading) และค่าร้อยละของประสิทธิภาพของการตรึง (% immobilization efficiency) (ภาคผนวก จ) ได้ผลดังตารางที่ 5

ตารางที่ 5 แสดงค่าปริมาณโปรตีนบนวัสดุค้ำจุน และร้อยละประสิทธิภาพการตรึงรูปจากการตรึงรูปไลเพสจากสารละลายเอนไซม์ของราไอโซเลต NAN103

ชนิดวัสดุค้ำจุน	ปริมาณโปรตีนบนวัสดุค้ำจุน (มิลลิกรัมโปรตีนต่อกรัมวัสดุค้ำจุน)	ร้อยละประสิทธิภาพการตรึงรูป
โดโลไมต์	63.09	21.99
ไดอะตอมมาเซียส เอิร์ธ	67.95	78.12



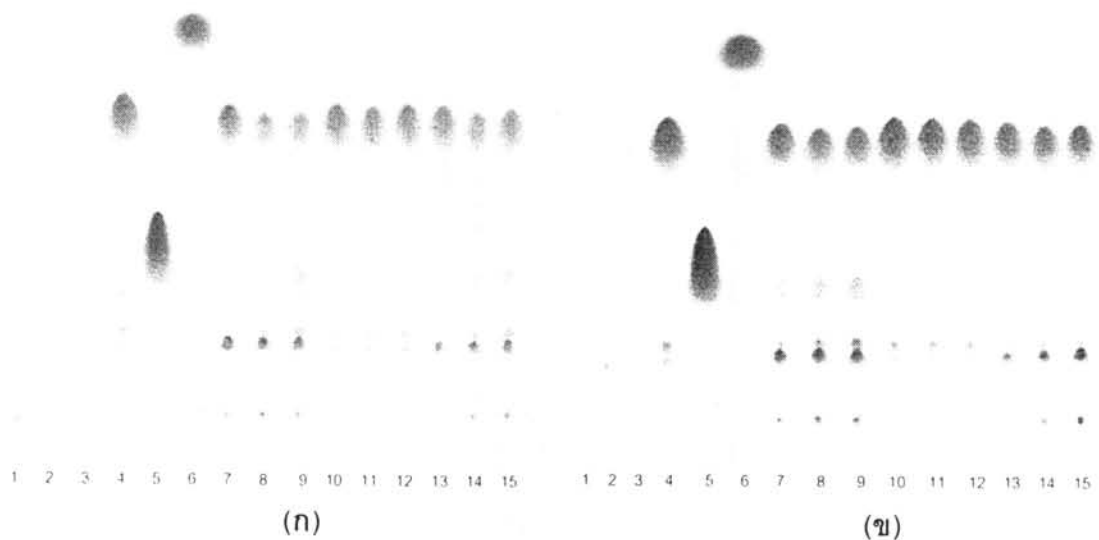
(ก)



(ข)

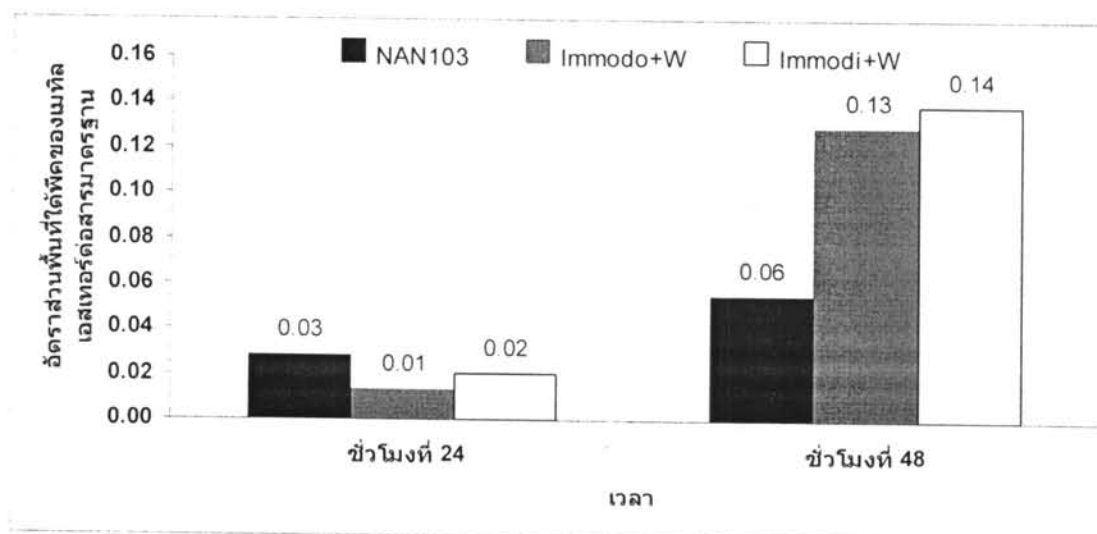
รูปที่ 20 ไลเพสตรึงรูปบนวัสดุค้ำจุน 2 ชนิด (ก) โดโลไมต์ และ (ข) ไดอะตอมมาเซียส เอิร์ธด้วยวิธีดูดซับทางกายภาพและตกตะกอน

จากตารางที่ 5 พบว่าค่าปริมาณโปรตีนบนวัสดุค้ำจุนโด้โลไมต์ คือ 63.09 มิลลิกรัมโปรตีนต่อกรัมวัสดุค้ำจุน ส่วนปริมาณโปรตีนบนวัสดุค้ำจุนไคอะตอมมาเซียส เอิร์ธ คือ 67.95 มิลลิกรัมโปรตีนต่อกรัมวัสดุค้ำจุน พบว่าโปรตีนที่อยู่บนวัสดุค้ำจุนทั้ง 2 ชนิดมีปริมาณใกล้เคียงกัน และจากการคำนวณค่าร้อยละของประสิทธิภาพของการตรึงบนวัสดุค้ำจุนโด้โลไมต์ 21.99 และค่าร้อยละของประสิทธิภาพของการตรึงบนวัสดุค้ำจุนไคอะตอมมาเซียส เอิร์ธ 78.12 พบว่าประสิทธิภาพของการตรึงบนวัสดุค้ำจุนไคอะตอมมาเซียส เอิร์ธสูงกว่าการตรึงบนวัสดุค้ำจุนโด้โลไมต์ถึงประมาณ 5 เท่า และเมื่อนำไลเพสตรึงรูปที่ตรึงบนวัสดุค้ำจุน 2 ชนิดดังกล่าว (รูปที่ 20) ไปใช้ทดสอบในการเกิดปฏิกิริยาทรานส์เอสเทอร์ิฟิเคชันด้วย TLC (รูปที่ 21)



**รูปที่ 21** โครมาโทแกรมที่ได้จากการวิเคราะห์ผลิตภัณฑ์ไบโอดีเซลด้วยวิธี TLC ที่เกิดจากปฏิกิริยาทรานส์เอสเทอร์ิฟิเคชันด้วยการเติมเมทานอลแบบต่อเนื่อง โดยเร่งด้วยไลเพสตรึงรูปบนวัสดุค้ำจุนโด้โลไมต์ (ก) ไคอะตอมมาเซียส เอิร์ธ (ข) ของราไอโซเลต NAN103 โดยเทียบกับสารละลายเอนไซม์ไลเพสของราไอโซเลต NAN103 โดยเส้นที่ 1-6 โมโนกลีเซอไรด์ ไดกลีเซอไรด์ ไตรกลีเซอไรด์ น้ำมันปาล์ม กรดโอเลอิก และ เมทิลโอเลอิต เส้นที่ 7-9 สารละลายเอนไซม์ไลเพสของราไอโซเลต NAN103 ปริมาณ 5 มิลลิกรัมโปรตีน ที่ 0 24 และ 48 ชั่วโมง เส้นที่ 10-12 ไลเพสตรึงรูปบนวัสดุค้ำจุนโด้โลไมต์ (ก) และไคอะตอมมาเซียส เอิร์ธ (ข) ของ NAN103 ปริมาณ 5 มิลลิกรัมโปรตีน ที่ 0 24 และ 48 เส้นที่ 13-15 ไลเพสตรึงรูปบนวัสดุค้ำจุนโด้โลไมต์ (ก) และไคอะตอมมาเซียส เอิร์ธ (ข) ของราไอโซเลต NAN103 ปริมาณ 5 มิลลิกรัมโปรตีนและผสมน้ำที่ 0 24 และ 48 ชั่วโมง (ที่ 50 เปอร์เซ็นต์ สารละลายเอนไซม์โดยน้ำหนักน้ำมัน 3 กรัมทุกปฏิกิริยา)

สารมาตรฐานที่นำมาในการตรวจสอบชนิดของสารตัวอย่างในการทำด้วย TLC ด้วยปฏิกิริยาทรานส์เอสเทอร์ฟิเคชัน ได้แก่ โมโนกลีเซอไรด์ ไดกลีเซอไรด์ ไตรกลีเซอไรด์ น้ำมันปาล์มกรดโอลลิก เมทิลโอลลีเอต และ B100 (น้ำมันไบโอดีเซล 100 เปอร์เซ็นต์ซึ่งเป็นสารที่ใช้เป็นตัวแทนเมทิลโอลลีเอต) จากการคำนวณหาค่าอัตราการเคลื่อนที่ (Retention factor;  $R_f$ ) ของสารแต่ละชนิดที่ใช้เป็นสารมาตรฐานโดยใช้สภาวะการทดลองดังกล่าวในวิธีการวิจัยบทที่ 3 ข้อที่ 8.2 กล่าวคือ โมโนกลีเซอไรด์ มีค่า  $R_f$  เท่ากับ 0.01 ไดกลีเซอไรด์มีค่า  $R_f$  เท่ากับ 0.14 ไตรกลีเซอไรด์มีค่า  $R_f$  เท่ากับ 0.57 กรดโอลลิกมีค่า  $R_f$  เท่ากับ 0.22 เมทิลโอลลีเอตมีค่า  $R_f$  0.72 และ B100 มีค่า  $R_f$  เท่ากับ 0.70 จากโครมาโทแกรมรูปที่ 24 พบว่า สารละลายเอนไซม์ไลเปสจากราไอโซเลต NAN103 สามารถเร่งปฏิกิริยาทรานส์เอสเทอร์ฟิเคชันแล้วเกิดเมทิลเอสเทอร์ ส่วนไลเปสตรังรูปที่ตรึงบนวัสดุค้ำจุนโพลีไมต์ และ วัสดุค้ำจุนไดอะตอมมาเซียส เอิร์ธ ไม่สามารถเร่งปฏิกิริยาทรานส์เอสเทอร์ฟิเคชันแล้วเกิดเมทิลเอสเทอร์ แต่ถ้ามีการเติมน้ำลงไปในระหว่างการทำปฏิกิริยาพบว่าไลเปสตรังรูปที่ตรึงบนวัสดุค้ำจุนโพลีไมต์ และ วัสดุค้ำจุนไดอะตอมมาเซียส เอิร์ธ สามารถเร่งปฏิกิริยาทรานส์เอสเทอร์ฟิเคชันแล้วเกิดเมทิลเอสเทอร์ โดยพิจารณาจากค่า  $R_f$  เมื่อเทียบกับสารมาตรฐาน แต่เนื่องจากการทดสอบด้วย TLC ยังไม่สามารถบอกถึงปริมาณที่เกิดของเมทิลเอสเทอร์ได้ จึงนำไปทดสอบด้วย HPLC พบว่าเมื่อนำอัตราส่วนพื้นที่ใต้พีคของเมทิลเอสเทอร์ต่อสารมาตรฐานมาเปรียบเทียบความสามารถในการเร่งปฏิกิริยาทรานส์เอสเทอร์ฟิเคชันระหว่างสารละลายเอนไซม์ไลเปสจากราไอโซเลต NAN103 และไลเปสตรังรูปที่ตรึงบนวัสดุค้ำจุนโพลีไมต์และวัสดุค้ำจุนไดอะตอมมาเซียส เอิร์ธ พบว่าชั่วโมงที่ 24 มีอัตราส่วนพื้นที่ใต้พีคของเมทิลเอสเทอร์ต่อสารมาตรฐาน ของสารละลายเอนไซม์ ไลเปสตรังรูปบนวัสดุค้ำจุนโพลีไมต์และไดอะตอมมาเซียส เอิร์ธ จากราไอโซเลต NAN103 เท่ากับ 0.03 0.01 และ 0.02 ตามลำดับ และพบว่าสารละลายเอนไซม์มีค่ามากกว่าของไลเปสตรังรูป แต่ชั่วโมงที่ 48 พบว่าไลเปสตรังรูปมีค่าอัตราส่วนพื้นที่ใต้พีคของเมทิลเอสเทอร์ต่อสารมาตรฐานมากกว่าสารละลายเอนไซม์อัตราส่วนพื้นที่ใต้พีคของเมทิลเอสเทอร์ต่อสารมาตรฐานของสารละลายเอนไซม์ ไลเปสตรังรูปบนวัสดุค้ำจุนโพลีไมต์และไดอะตอมมาเซียส เอิร์ธ จากราไอโซเลต NAN103 เท่ากับ 0.06 0.13 และ 0.14 และพบว่าอัตราส่วนพื้นที่ใต้พีคของเมทิลเอสเทอร์ต่อสารมาตรฐานของไลเปสตรังรูปบนวัสดุค้ำจุนไดอะตอมมาเซียส เอิร์ธมีค่ามากกว่าของไลเปสตรังรูปบนวัสดุค้ำจุนโพลีไมต์ทั้งชั่วโมงที่ 24 และ 48 (รูปที่ 22)



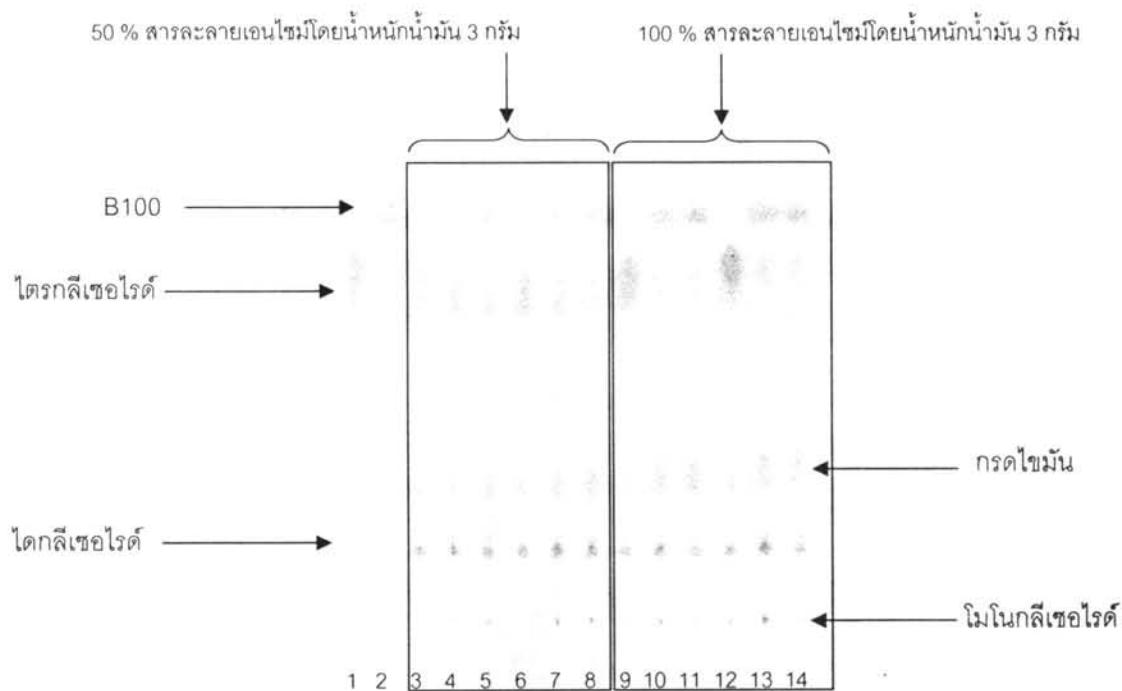
รูปที่ 22 อัตราส่วนพื้นที่ใต้พีคของเมทิลเอสเทอร์ต่อสารมาตรฐานที่ได้จากการวิเคราะห์ด้วยวิธี HPLC ของผลิตภัณฑ์ไบโอดีเซลที่เกิดจากปฏิกิริยาทรานส์เอสเทอร์ฟิเคชันด้วยการเติมเมทานอลแบบต่อเนื่อง ชั่วโมงที่ 24 และ 48 โดยเร่งด้วยสารละลายเอนไซม์ไลเพสจากราไอโซเลต NAN103 ไลเพสตรังรูปบนวัสดุค้ำจุนโคโลไมต์ซึ่งมีน้ำในปฏิกิริยาที่ 50 เปอร์เซ็นต์ สารละลายเอนไซม์โดยน้ำหนักน้ำมัน 3 กรัม (Immodo+W) และ ไดอะตอมมาเซียส เอิร์ธซึ่งมีน้ำในปฏิกิริยาที่ 50 เปอร์เซ็นต์ สารละลายเอนไซม์โดยน้ำหนักน้ำมัน 3 กรัม (Immodi+W) (กำหนดใช้เอนไซม์ไลเพสปริมาณ 5 มิลลิกรัมโปรตีนทุกปฏิกิริยา)

## 8. ผลการศึกษาการทำปฏิกิริยาทรานส์เอสเทอร์ฟิเคชันของரசายพันธุ์เดิมและมิวแทนต์

### 8.1 การตรวจสอบการทำปฏิกิริยาทรานส์เอสเทอร์ฟิเคชันด้วยวิธี TLC

ผลการทดลองด้วย TLC ของราที่มีความสามารถในการเร่งปฏิกิริยาของไลเพสสูงสุดโดยคัดเลือกจากแหล่งธรรมชาติต่าง ๆ ก็คือราไอโซเลต NAN103 ซึ่งได้จากป่าเต็งรัง จ. น่าน สารมาตรฐานที่นำมาในการตรวจสอบชนิดของสารตัวอย่างในการทำด้วย TLC ด้วยปฏิกิริยาทรานส์เอสเทอร์ฟิเคชัน ได้แก่ โมโนกลีเซอไรด์ ไดกลีเซอไรด์ ไตรกลีเซอไรด์ น้ำมันปาล์ม กรดโอเลอิก เมทิลโอเลอेट และ B100 (น้ำมันไบโอดีเซล 100 เปอร์เซ็นต์ซึ่งเป็นสารที่ใช้เป็นตัวแทนเมทิลโอเลอेट) จากการคำนวณหาค่าอัตราการเคลื่อนที่ (Retention factor;  $R_f$ ) ของสารแต่ละชนิดที่ใช้เป็นสารมาตรฐานโดยใช้สภาวะการทดลองดังกล่าวในวิธีการวิจัยบทที่ 3 ข้อที่ 8.2 กล่าวคือ โมโนกลีเซอไรด์ มีค่า  $R_f$  เท่ากับ 0.01 ไดกลีเซอไรด์มีค่า  $R_f$  เท่ากับ 0.14 ไตรกลีเซอไรด์มีค่า  $R_f$  เท่ากับ 0.57 กรดโอเลอิกมีค่า  $R_f$  เท่ากับ 0.22 เมทิลโอเลอेटมีค่า  $R_f$  0.72 และ B100 มีค่า  $R_f$  เท่ากับ 0.70 จากการทำทรานส์เอสเทอร์ฟิเคชันระหว่างน้ำมันปาล์มกับเมทานอลที่ 0 24 และ 48

ชั่วโมง ได้ทดสอบการใส่เมทานอลใน 2 รูปแบบ คือ โดยการใส่เมทานอลแบบเต็มในสามชั้น และการใส่เมทานอลแบบต่อเนื่อง โดยเร่งด้วยสารละลายเอนไซม์จากราไอโซเลต NAN103 ปริมาณ 50 เปอร์เซ็นต์ และ 100 เปอร์เซ็นต์สารละลายเอนไซม์โดยน้ำหนักน้ำมัน 3 กรัมแล้วนำไปทดสอบด้วย TLC แสดงดังรูปที่ 23

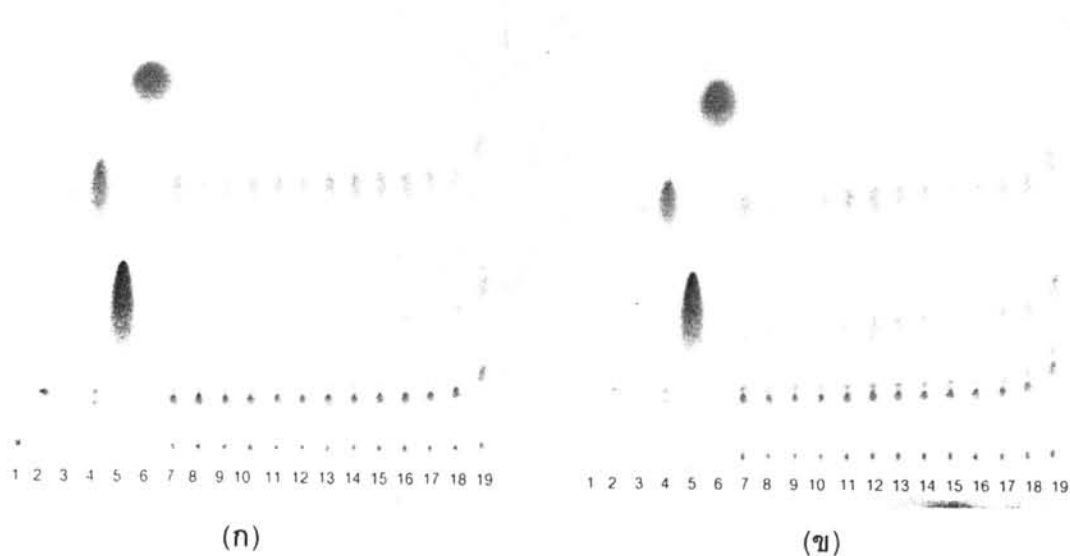


รูปที่ 23 โครมาโทแกรมที่ได้จากการวิเคราะห์ผลิตภัณฑ์ไบโอดีเซลด้วยวิธี TLC ที่เกิดจากปฏิกิริยาทรานส์เอสเทอร์ริฟิเคชัน โดยเร่งด้วยไลเปสของรา โดยเลนที่ 1 น้ำมันปาล์ม เลนที่ 2 B100 เลนที่ 3-5 ราไอโซเลต NAN103 ที่ 50 เปอร์เซ็นต์ สารละลายเอนไซม์โดยน้ำหนักน้ำมัน 3 กรัม การใส่เมทานอลแบบเต็มในสามชั้น ที่ 0 24 และ 48 ชั่วโมง ตามลำดับ เลนที่ 6-8 ราไอโซเลต NAN103 ที่ 50 เปอร์เซ็นต์ สารละลายเอนไซม์โดยน้ำหนักน้ำมัน 3 กรัม การใส่เมทานอลแบบต่อเนื่อง ที่ 0 24 และ 48 ชั่วโมง ตามลำดับ เลนที่ 9-11 ราไอโซเลต NAN103 ที่ 100 เปอร์เซ็นต์ สารละลายเอนไซม์โดยน้ำหนักน้ำมัน 3 กรัม การใส่เมทานอลแบบเต็มในสามชั้น ที่ 0 24 และ 48 ชั่วโมง ตามลำดับ เลนที่ 12-14 ราไอโซเลต NAN103 ที่ 100 เปอร์เซ็นต์ สารละลายเอนไซม์โดยน้ำหนักน้ำมัน 3 กรัม การใส่เมทานอลแบบต่อเนื่อง ที่ 0 24 และ 48 ชั่วโมง ตามลำดับ

จากรูปที่ 23 พบว่าถ้าใช้สารละลายเอนไซม์ปริมาณมากจากราไอโซเลต NAN103 เพื่อเร่งปฏิกิริยาทรานส์เอสเทอร์ริฟิเคชันก็ทำให้สามารถเกิดเมทิลเอสเทอร์ปริมาณที่มากด้วยเช่นกัน โดยพิจารณาจากแถบบนโครมาโทแกรมที่ R<sub>f</sub> เท่ากับ 0.75 พบว่าแถบเมทิลเอสเทอร์ที่เกิดขึ้นที่ใช้

100 เปอร์เซ็นต์ สารละลายเอนไซม์โดยน้ำหนักน้ำมัน 3 กรัมมีแถบขนาดใหญ่กว่าและสีเข้มกว่าที่ใช้ 50 เปอร์เซ็นต์ สารละลายเอนไซม์โดยน้ำหนักน้ำมัน 3 กรัม ส่วนการทดสอบการใส่เมทานอลใน 2 รูปแบบ คือ โดยการใส่เมทานอลแบบเติมในสามชั้น และการใส่เมทานอลแบบต่อเนื่อง พบว่าจากการพิจารณาการทดสอบด้วย TLC การเติมเมทานอลทั้ง 2 รูปแบบโดยเร่งด้วยสารละลายเอนไซม์จากราไฮโซเลต NAN103 ยังไม่สามารถทราบปริมาณเมทิลเอสเทอร์ที่เกิดขึ้นจริงได้ จึงต้องมีการนำไปทดสอบด้วย HPLC ต่อไป

นอกจากนี้ทำปฏิกิริยาทรานส์เอสเทอร์ฟิเคชันของสารละลายเอนไซม์ราที่คัดเลือกจากโคโลนีเดี่ยวจากราไฮโซเลต NAN103 ทั้ง 12 ไฮโซเลต ดังนี้ NS1 NS2 NS3 NS4 NS5 NS6 NS7 NS8 NS9 NS10 NS11 NS12 และรวมทั้งราไฮโซเลต NAN103 พบว่าผลการทดสอบด้วยวิธี TLC สามารถเกิดเมทิลเอสเทอร์ได้ทั้ง 12 ไฮโซเลตรวมถึง สายพันธุ์เดิม (NAN103) ที่ 24 และ 48 ชั่วโมง และสามารถเกิดเมทิลเอสเทอร์ในปริมาณที่ต่างกัน โดยเทียบจากขนาดของแถบเมทิลเอสเทอร์ที่เกิดขึ้น (รูปที่ 24) แต่อย่างไรก็ตามต้องมีการนำไปตรวจสอบในเชิงปริมาณต่อไป เพื่อเปรียบเทียบปริมาณเมทิลเอสเทอร์ที่เกิดขึ้นจริงในปฏิกิริยาของราในแต่ละโคโลนี ส่วนในการคัดเลือกในเบื้องต้นราไฮโซเลต NS4 ถูกคัดเลือกนำไปใช้ขั้นต่อไป เพราะมีค่าแอกทิวิตีจำเพาะสูงสุด



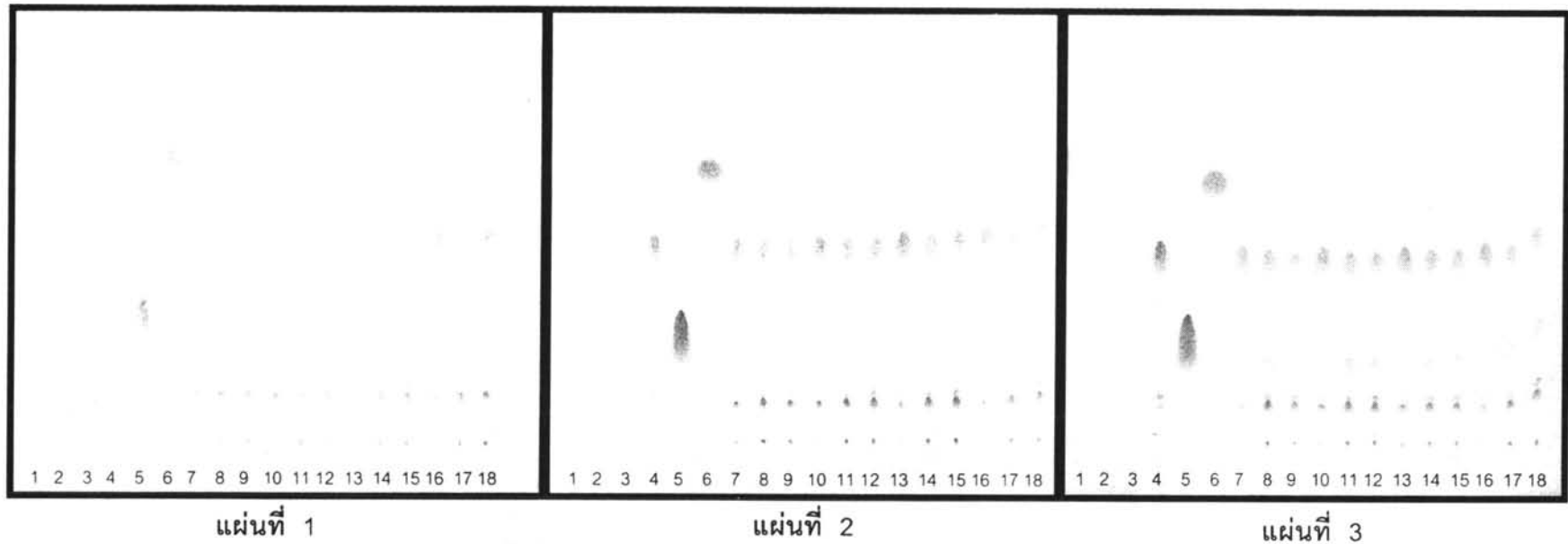
รูปที่ 24 โครมาโทแกรมที่ได้จากการวิเคราะห์ผลิตภัณฑ์ไฮโดลิซิสด้วยวิธี TLC ที่เกิดจากปฏิกิริยาทรานส์เอสเทอร์ฟิเคชันที่ 24 ชั่วโมง (ก) และ 48 ชั่วโมง (ข) เร่งด้วยไลเพสของรา โดยใช้ที่ 50 เปอร์เซ็นต์ สารละลายเอนไซม์โดยน้ำหนักน้ำมัน 3 กรัม การใส่เมทานอลแบบต่อเนื่อง โดยเลนที่ 1-6 ไมโนกลีเซอไรด์ โดกลีเซอไรด์ ไตรกลีเซอไรด์ น้ำมันปาล์ม กรดโอเลอิก และเมทิลโอเลอิด



เลนที่. 7-19 NS1 NS2 NS3 NS4 NS5 NS6 NS7 NS8 NS9 NS10 NS11 NS12 และ NAN103  
ตามลำดับ

จากผลการทดสอบด้วยวิธี TLC ของราที่ผ่านการฉายรังสีอัลตราไวโอเล็ตชั่วคราวที่ 2 จากการ  
ทำปฏิกิริยาทรานส์เอสเทอร์ฟิเคชันที่ 0 24 และ 48 ชั่วโมง พบว่าสารละลายเอนไซม์ที่ได้จาก  
มิวแทนต์ที่ผ่านการฉายรังสีอัลตราไวโอเล็ตทั้ง 27 ไอโซเลต คือ UV501 UV502 UV503 UV504  
UV505 UV506 UV507 UV508 UV509 UV510 UV511 UV512 UV513 UV514 UV515 UV516  
UV517 UV518 UV519 UV1001 UV1501 UV1502 UV2001 UV2002 UV2501 UV3001 และ  
UV3002 สามารถเกิดเมทิลเอสเทอร์ได้ทั้ง 27 ไอโซเลต แต่เนื่องจากการปฏิกิริยา  
ทรานส์เอสเทอร์ฟิเคชันจากสารละลายเอนไซม์ที่ได้จากมิวแทนต์ที่ผ่านการฉายรังสีอัลตราไวโอเล็ต  
และสายพันธุ์เดิม จะใช้สารละลายเอนไซม์ที่ปริมาณโปรตีนเท่ากับ 5 มิลลิกรัมเพื่อเป็นกำหนด  
ปริมาณโปรตีนที่ใช้ในปฏิกิริยาให้เท่า ๆ กัน ซึ่งก็ผลการทดลองดังรูปที่ 25-27





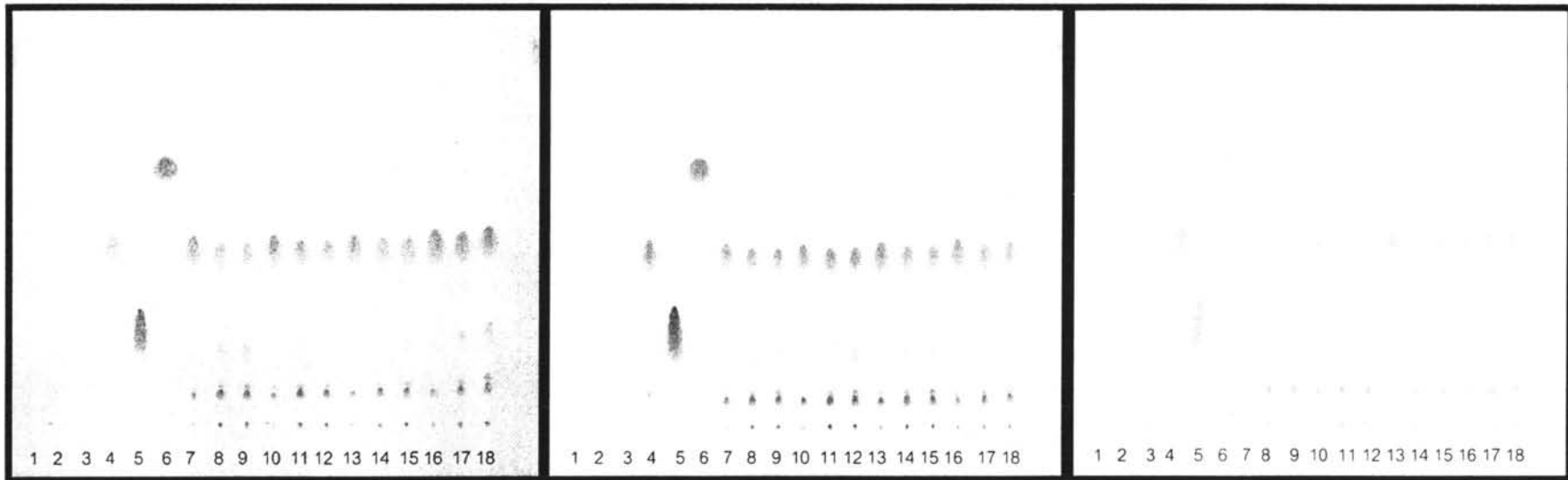
รูปที่ 25 โครมาโทแกรมที่ได้จากการวิเคราะห์ผลิตภัณฑ์ไบโอดีเซลด้วยวิธี TLC ที่เกิดจากปฏิกิริยาทรานส์เอสเทอร์ฟิเคชันที่ 0 24 และ 48 ชั่วโมง โดยเร่งด้วยไลเพสของราที่ผ่านการชักนำด้วยรังสีอัลตราไวโอเล็ต โดยใช้สารละลายเอนไซม์ 5 มิลลิกรัมโปรตีน คือ UV501 UV502 UV503 UV504 UV505 UV506 UV507 UV508 UV509 UV510 UV511 และ UV512

โดยเลขที่ 1-6 โมโนกลีเซอไรด์ ไดกลีเซอไรด์ ไตรกลีเซอไรด์ น้ำมันปาล์ม กรดโอเลอิก และเมทิลโอเลเอต (แผ่นที่ 1- แผ่นที่ 3)

แผ่นที่ 1 เลขที่ 7-9 UV501 ที่ 0 24 และ 48 ชั่วโมง ตามลำดับ เลขที่ 10-12 UV502 ที่ 0 24 และ 48 ชั่วโมง ตามลำดับ เลขที่ 13-15 UV503 ที่ 0 24 และ 48 ชั่วโมง ตามลำดับ เลขที่ 16-18 UV504 ที่ 0 24 และ 48 ชั่วโมง ตามลำดับ

แผ่นที่ 2 เลขที่ 7-9 UV505 ที่ 0 24 และ 48 ชั่วโมง ตามลำดับ เลขที่ 10-12 UV506 ที่ 0 24 และ 48 ชั่วโมง ตามลำดับ เลขที่ 13-15 UV507 ที่ 0 24 และ 48 ชั่วโมง ชั่วโมง ตามลำดับ เลขที่ 16-18 UV508 ที่ 0 24 และ 48 ชั่วโมง ตามลำดับ

แผ่นที่ 3 เลขที่ 7-9 UV509 ที่ 0 24 และ 48 ชั่วโมง ตามลำดับ เลขที่ 10-12 UV510 ที่ 0 24 และ 48 ชั่วโมง ตามลำดับ เลขที่ 13-15 UV511 ที่ 0 24 และ 48 ชั่วโมง ตามลำดับ เลขที่ 16-18 UV512 ที่ 0 24 และ 48 ชั่วโมง ตามลำดับ



แผ่นที่ 4

แผ่นที่ 5

แผ่นที่ 6

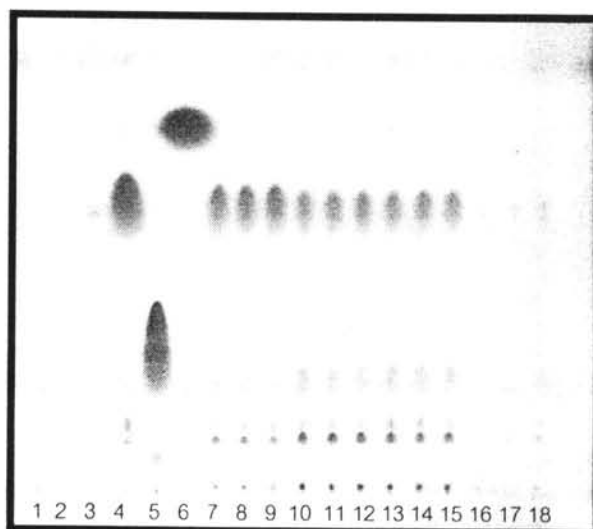
รูปที่ 26 โครมาโทแกรมที่ได้จากการวิเคราะห์ผลิตภัณฑ์ไบโอดีเซลด้วยวิธี TLC ที่เกิดจากปฏิกิริยาทรานส์เอสเทอร์ฟิเคชันที่ 0 24 และ 48 ชั่วโมง โดยเร่งด้วยไลเพสของราที่ผ่านการชักนำด้วยรังสีอัลตราไวโอเล็ต โดยใช้สารละลายเอนไซม์ 5 มิลลิกรัมโปรตีน คือ UV513 UV514 UV515 UV516 UV517 UV518 UV519 UV1001 UV1501 UV1502 UV2001 และ UV2002

โดยเลขที่ 6-7 โมโนกลีเซอไรด์ ไดกลีเซอไรด์ ไตรกลีเซอไรด์ น้ำมันปาล์ม กรดโอเลอิก และเมทิลโอเลเอต (แผ่นที่ 1- แผ่นที่ 3)

แผ่นที่ 4 เลขที่ 7-9 UV513 ที่ 0 24 และ 48 ชั่วโมง ตามลำดับ เลขที่ 10-12 UV514 ที่ 0 24 และ 48 ชั่วโมง ตามลำดับ เลขที่ 13-15 UV515 ที่ 0 24 และ 48 ชั่วโมง ตามลำดับ เลขที่ 16-18 UV516 ที่ 0 24 และ 48 ชั่วโมง ตามลำดับ

แผ่นที่ 5 เลขที่ 7-9 UV517 ที่ 0 24 และ 48 ชั่วโมง ตามลำดับ เลขที่ 10-12 UV518 ที่ 0 24 และ 48 ชั่วโมง ตามลำดับ เลขที่ 13-15 UV519 ที่ 0 24 และ 48 ชั่วโมง ตามลำดับ เลขที่ 16-18 UV1001 ที่ 0 24 และ 48 ชั่วโมง ตามลำดับ

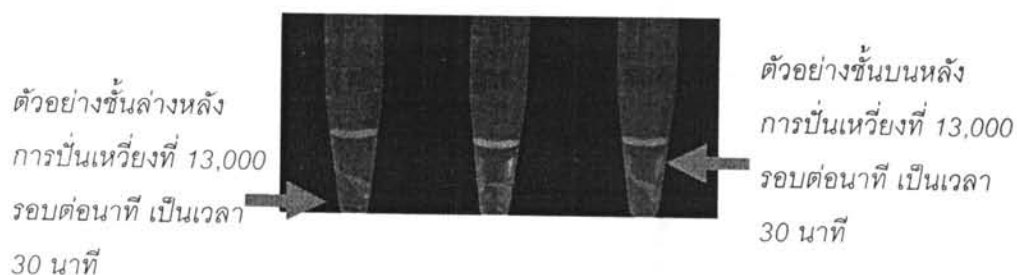
แผ่นที่ 6 เลขที่ 7-9 UV1501 ที่ 0 24 และ 48 ชั่วโมง ตามลำดับ เลขที่ 10-12 UV1502 ที่ 0 24 และ 48 ชั่วโมง ตามลำดับ เลขที่ 13-15 UV2001 ที่ 0 24 และ 48 ชั่วโมง ตามลำดับ เลขที่ 16-18 UV2002 ที่ 0 24 และ 48 ชั่วโมง ตามลำดับ



แผ่นที่ 7

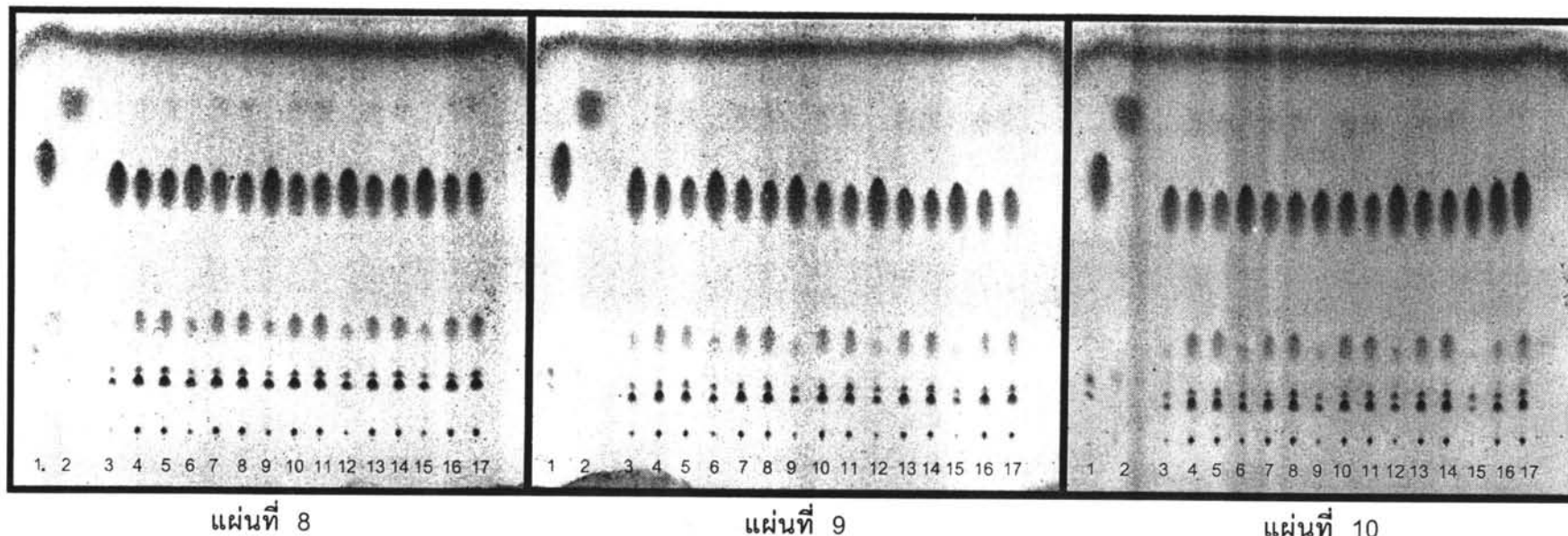
รูปที่ 27 โครมาโทแกรมที่ได้จากการวิเคราะห์ผลิตภัณฑ์ไบโอดีเซลด้วยวิธี TLC ที่เกิดจากปฏิกิริยาทรานส์เอสเทอร์ฟิเคชันที่ 0 24 48 ชั่วโมง โดยเร่งด้วยไลเพสของราที่ผ่านการชักนำด้วยรังสีอัตราไวโอเล็ต โดยใช้สารละลายเอนไซม์ 5 มิลลิกรัมโปรตีนและใส่เมทานอลแบบต่อเนื่อง คือ UV2501 UV3001 และ UV3002 โดยเลขที่ 1-6 โมโนกลีเซอไรด์ ไดกลีเซอไรด์ ไตรกลีเซอไรด์ น้ำมันปาล์ม กรดโอเลอิก และเมทิลเอสเทอร์ เลขที่ 7-9 UV2501 UV3001 UV3002 ชั่วโมงที่ 0 ตามลำดับ เลขที่ 10-12 UV2501 UV3001 UV3002 ชั่วโมงที่ 24 ตามลำดับ เลขที่ 13-15 UV2501 UV3001 UV3002 ชั่วโมงที่ 48 ตามลำดับ เลขที่ 16-18 UV2501 UV3001 UV3002 ชั่วโมงที่ 48 ตามลำดับ สำหรับเลขที่ 16-18 เป็นส่วนของชั้นล่างจากการเก็บตัวอย่างดังแสดงในรูปที่ 28

เนื่องจากการทำปฏิกิริยาทรานส์เอสเทอร์ฟิเคชันได้มีการเติมน้ำลงไปในการปฏิบัติ เมื่อทำการเก็บตัวอย่างแล้วนำไปปั่นเหวี่ยงที่ความเร็วรอบ 13,000 รอบต่อนาทีเป็นเวลา 30 นาที จะพบว่าตัวอย่างแยกออกเป็น 2 ชั้นทุกๆสารละลายเอนไซม์ที่นำมาทำปฏิกิริยา ดังนั้นจึงทำการทดลองตัวอย่างทั้ง 2 ชั้นที่เกิดขึ้นด้วยวิธี TLC จากการทำปฏิกิริยาทรานส์เอสเทอร์ฟิเคชันที่ 48 ชั่วโมงของ UV2501 UV3001 UV3002 ซึ่งผลการทดลองเป็นดังรูปที่ 31 กล่าวคือ ในส่วนของตัวอย่างชั้นล่างจะไม่มีการเกิดเมทิลเอสเทอร์ ส่วนของตัวอย่างชั้นบนมีการเกิดเมทิลเอสเทอร์ ดังนั้นพบว่าเมทิลเอสเทอร์จะอยู่ในชั้นบนของตัวอย่าง จึงได้ทำการทดลองด้วยวิธี TLC เฉพาะตัวอย่างชั้นบนกับสารละลายเอนไซม์ที่ได้มาจากมิวแทนต์ตัวอื่น ๆ



รูปที่ 28 ตัวอย่างที่เก็บจากการทำปฏิกิริยาทรานส์เอสเทอร์ฟิเคชันหลังการปั่นเหวี่ยงที่ 13,000 รอบต่อนาทีเป็นเวลา 30 นาที ตัวอย่างจะแยกเป็น 2 ชั้น

ผลการทดสอบด้วยวิธี TLC จากการทำปฏิกิริยาทรานส์เอสเทอร์ฟิเคชันที่ 0 24 และ 48 ชั่วโมง พบว่าสารละลายเอโนไซม์ที่ได้จากมิวแทนต์ที่ผ่านการชักนำด้วยสาร NTG ทั้ง 14 ไอโซเลต คือ NTG012 NTG021 NTG022 NTG051 NTG052 NTG071 NTG072 NTG073 NTG074 NTG075 NTG091 NTG092 และ NTG093 สามารถเกิดเมทิลเอสเทอร์ได้ทั้ง 14 ไอโซเลต แต่เนื่องจากการปฏิกิริยาทรานส์เอสเทอร์ฟิเคชันจากสารละลายเอโนไซม์ที่ได้จากมิวแทนต์ที่ผ่านการชักนำด้วยสาร NTG จะใช้สารละลายเอโนไซม์ที่ปริมาณโปรตีนเท่ากับ 5 มิลลิกรัมเพื่อเป็นกำหนดปริมาณโปรตีนที่ใช้ในปฏิกิริยาให้เท่าๆ กัน ซึ่งก็ผลการทดลองดังรูปที่ 29



รูปที่ 29 โคโรมาโทแกรมที่ได้จากการวิเคราะห์ผลิตภัณฑ์ไบโอดีเซลด้วยวิธี TLC ที่เกิดจากปฏิกิริยาทรานส์เอสเทอร์ฟิเคชันที่ 0 24 และ 48 ชั่วโมง โดยเร่งด้วยไลเพสจากราที่ผ่านการชักนำด้วยสาร NTG โดยใช้สารละลายเอนไซม์ 5 มิลลิกรัมโปรตีนและใส่เมทานอลแบบต่อเนื่อง คือ NTG012 NTG021 NTG022 NTG051 NTG052 NTG071 NTG072 NTG073 NTG074 NTG075 NTG091 NTG092 และ NTG093

โดยเลขที่ 1-6 โมโนกลีเซอไรด์ ไดกลีเซอไรด์ ไตรกลีเซอไรด์ น้ำมันปาล์ม กรดโอเลอิก และเมทิลโอเลเอต (แผ่นที่ 1- แผ่นที่ 3)

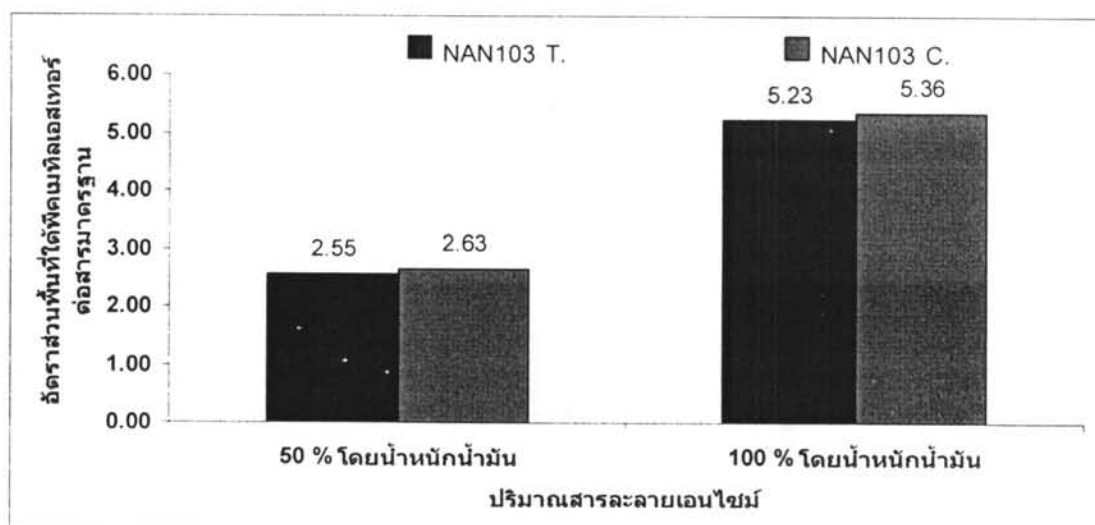
แผ่นที่ 4 เลขที่ 7-9 UV513 ที่ 0 24 และ 48 ชั่วโมง ตามลำดับ เลขที่ 10-12 UV514 ที่ 0 24 และ 48 ชั่วโมง ตามลำดับ เลขที่ 13-15 UV515 ที่ 0 24 และ 48 ชั่วโมง ตามลำดับ เลขที่ 16-18 UV516 ที่ 0 24 และ 48 ชั่วโมง ตามลำดับ

แผ่นที่ 5 เลขที่ 7-9 UV517 ที่ 0 24 และ 48 ชั่วโมง ตามลำดับ เลขที่ 10-12 UV518 ที่ 0 24 และ 48 ชั่วโมง ตามลำดับ เลขที่ 13-15 UV519 ที่ 0 24 และ 48 ชั่วโมง ตามลำดับ เลขที่ 16-18 UV1001 ที่ 0 24 และ 48 ชั่วโมง ตามลำดับ

แผ่นที่ 6 เลขที่ 7-9 UV1501 ที่ 0 24 และ 48 ชั่วโมง ตามลำดับ เลขที่ 10-12 UV1502 ที่ 0 24 และ 48 ชั่วโมง ตามลำดับ เลขที่ 13-15 UV2001 ที่ 0 24 และ 48 ชั่วโมง ตามลำดับ เลขที่ 16-18 UV2002 ที่ 0 24 และ 48 ชั่วโมง ตามลำดับ

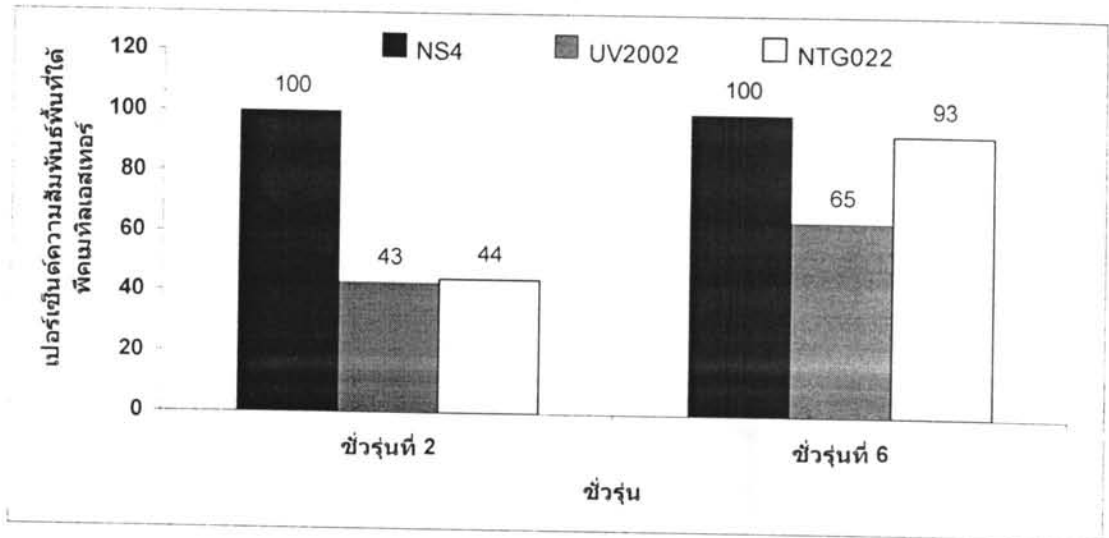
## 8.2 การตรวจสอบการทำปฏิกิริยาทรานส์เอสเทอร์ฟิเคชันด้วยวิธี HPLC

จากการนำไลเปสจากราโอโซเลต NAN103 มาเร่งปฏิกิริยาทรานส์เอสเทอร์ฟิเคชันระหว่างน้ำมันปาล์มกับเมทานอลชั่วโมงที่ 48 ได้ทดสอบการใส่เมทานอลใน 2 รูปแบบ คือ โดยการใส่เมทานอลแบบเติมในสามขั้น และการใส่เมทานอลแบบต่อเนื่อง เมื่อนำไปทดสอบด้วยวิธี HPLC และหาอัตราส่วนพื้นที่ใต้พีคของเมทิลเอสเทอร์ต่อสารมาตรฐาน พบว่าการใส่เมทานอลทั้ง 2 รูปแบบให้ค่าอัตราส่วนพื้นที่ใต้พีคของเมทิลเอสเทอร์ต่อสารมาตรฐานใกล้เคียงกัน ทั้งในส่วนที่มีการเติมปริมาณ 50 เปอร์เซ็นต์ และ 100 เปอร์เซ็นต์สารละลายเอนไซม์โดยใช้น้ำมัน 3 กรัม (รูปที่ 30 และภาคผนวก ข)

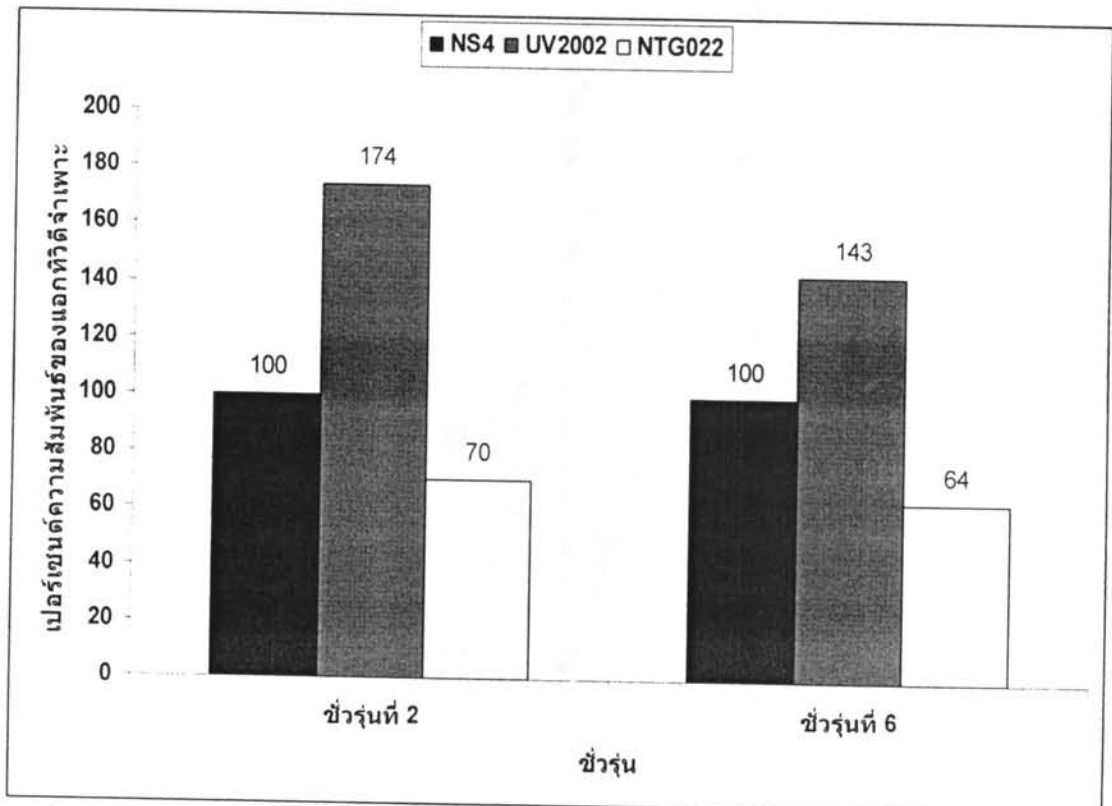


รูปที่ 30 อัตราส่วนพื้นที่ใต้พีคของเมทิลเอสเทอร์ต่อสารมาตรฐานโครมาโทแกรมที่ได้จากการวิเคราะห์ผลิตภัณฑ์ไบโอดีเซลด้วยวิธี HPLC ที่เกิดจากปฏิกิริยาทรานส์เอสเทอร์ฟิเคชันชั่วโมงที่ 48 โดยเร่งด้วยสารละลายเอนไซม์ไลเปสจากราโอโซเลต NAN103 ที่ปริมาณ 50 เปอร์เซ็นต์ และ 100 เปอร์เซ็นต์ สารละลายเอนไซม์โดยใช้น้ำมัน 3 กรัม โดยการใส่เมทานอลแบบเติมในสามขั้น (NAN103 T.) และการใส่เมทานอลแบบต่อเนื่อง (NAN103 C.)

พบว่าสารละลายเอนไซม์ที่ได้จากสายพันธุ์เดิมและมิวแทนต์ที่ผ่านการชักนำด้วยรังสีอัลตราไวโอเลต และสาร NTG มีเปอร์เซ็นต์ความสัมพันธ์พื้นที่ใต้พีคของเมทิลเอสเทอร์ดังรูปที่ 31



รูปที่ 31 เปอร์เซ็นต์ความสัมพัทธ์พื้นที่ได้พีคของเมทิลเอสเทอร์ที่ได้จากการวิเคราะห์ผลิตภัณฑ์ไบโอดีเซลที่เกิดจากปฏิกิริยาทรานส์เอสเทอร์ฟิเคชันระหว่างน้ำมันปาล์มกับเมทานอลช่วงเวลาที่ 48 โดยเร่งด้วยสารละลายเอนไซม์ไลเพสจากราโอโซเลต NS4 UV2002 และ NTG022 ที่ 100 เปอร์เซ็นต์สารละลายเอนไซม์โดยน้ำหนักน้ำมัน 3 กรัม โดยการใส่เมทานอลแบบต่อเนื่อง



รูปที่ 32 เปอร์เซ็นต์ความสัมพัทธ์ของแอกทิวิตีจำเพาะโดยเร่งด้วยสารละลายเอนไซม์ไลเพสจากราโอโซเลต NS4 UV2002 และ NTG022 ช่วงเวลาที่ 2 และช่วงเวลาที่ 6

จากรูปที่ 31 พบว่าจากการวิเคราะห์ผลิตภัณฑ์ไบโอดีเซลที่เกิดจากปฏิกิริยาทรานส์เอสเทอร์ฟิเคชันระหว่างน้ำมันปาล์มกับเมทานอลชั่วโมงที่ 48 ที่ 100 เปอร์เซ็นต์สารละลายเอโนไซม์โดยน้ำหนักน้ำมัน 3 กรัม โดยการใส่เมทานอลแบบต่อเนื่อง โดยเร่งด้วยสารละลายเอโนไซม์ไลเพสจากราไฮโซเลต NS4 ซึ่งเป็นสายพันธุ์สายพันธุ์เดิมมีเปอร์เซ็นต์ความสัมพัทธ์พื้นที่ได้ฟิคมของเมทิลเอสเทอร์สูงกว่ามีวแทนด์ราไฮโซเลต UV2002 และ NTG022 แต่เมื่อเปรียบเทียบกับค่าเปอร์เซ็นต์ความสัมพัทธ์ของแอกทิวิตีจำเพาะ (รูปที่ 32) พบว่าไม่มีความสัมพัทธ์ไปในทางเดียวกัน